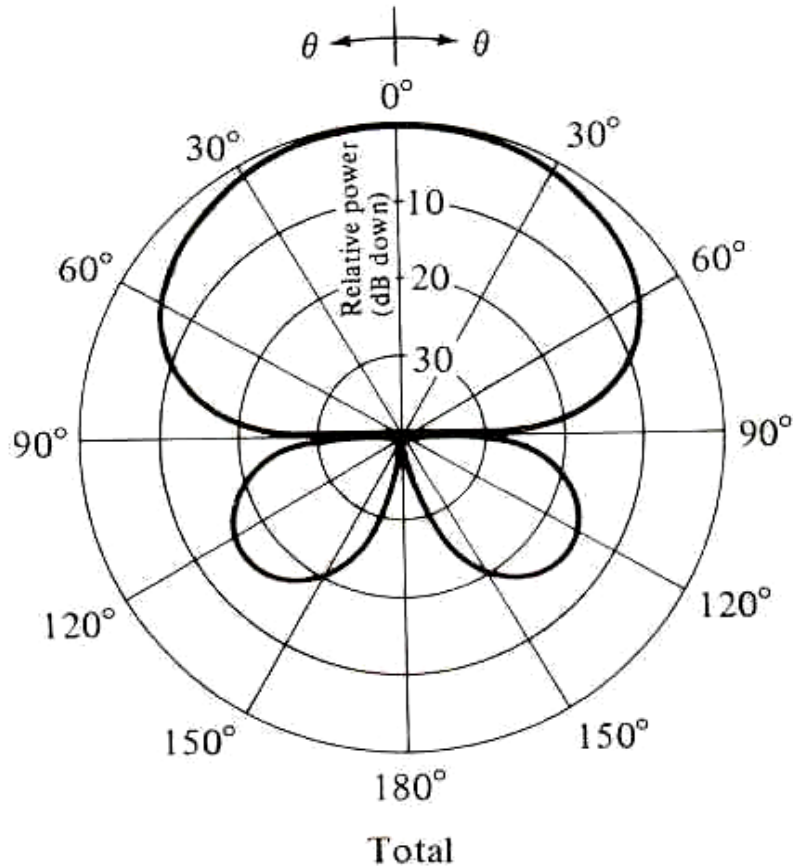


Dipolske skupine



Mobitel d.d.,
izobraževanje

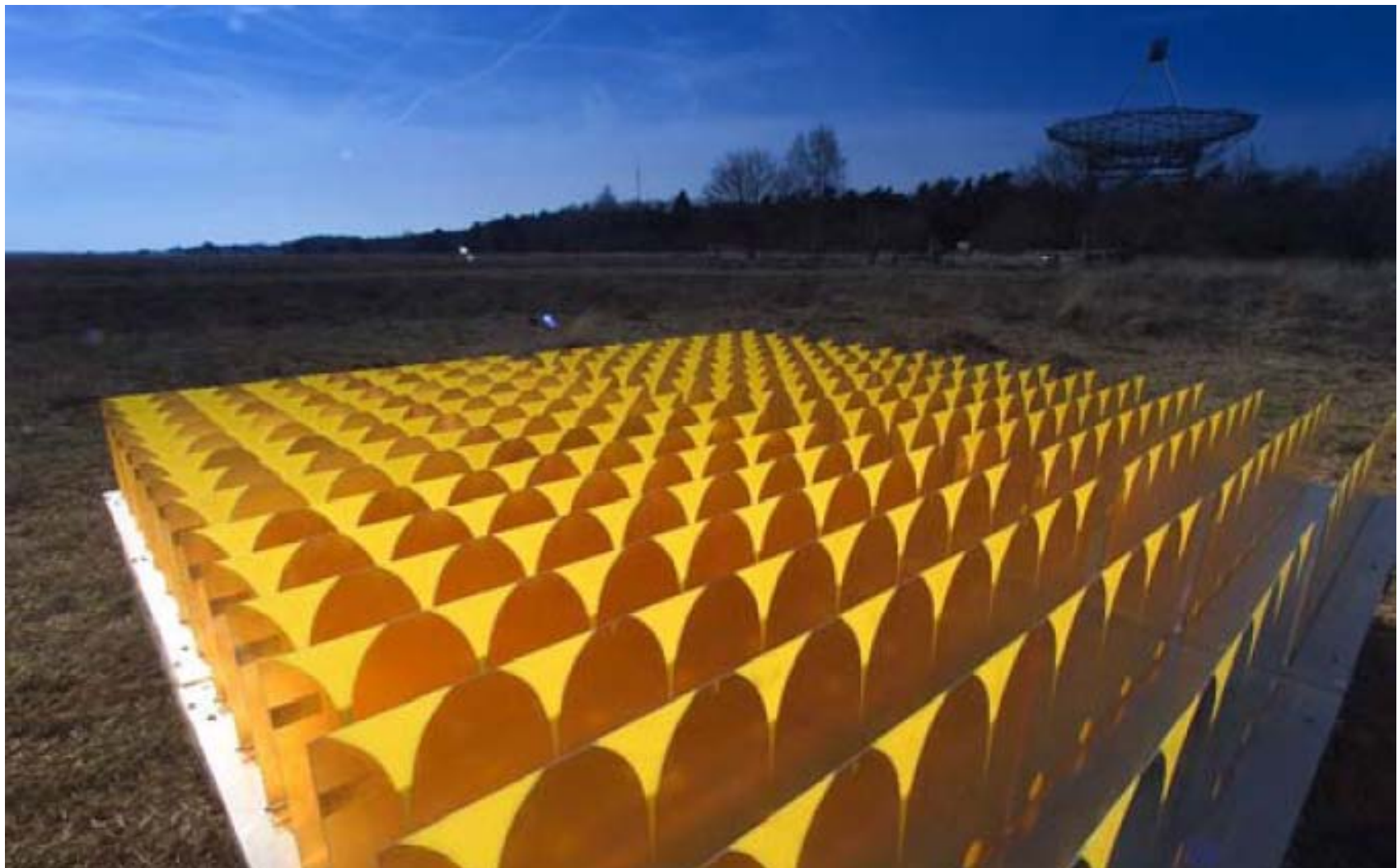
8. 5. 2009,
predavanje 14

Prof. dr. Jožko Budin

Vsebina

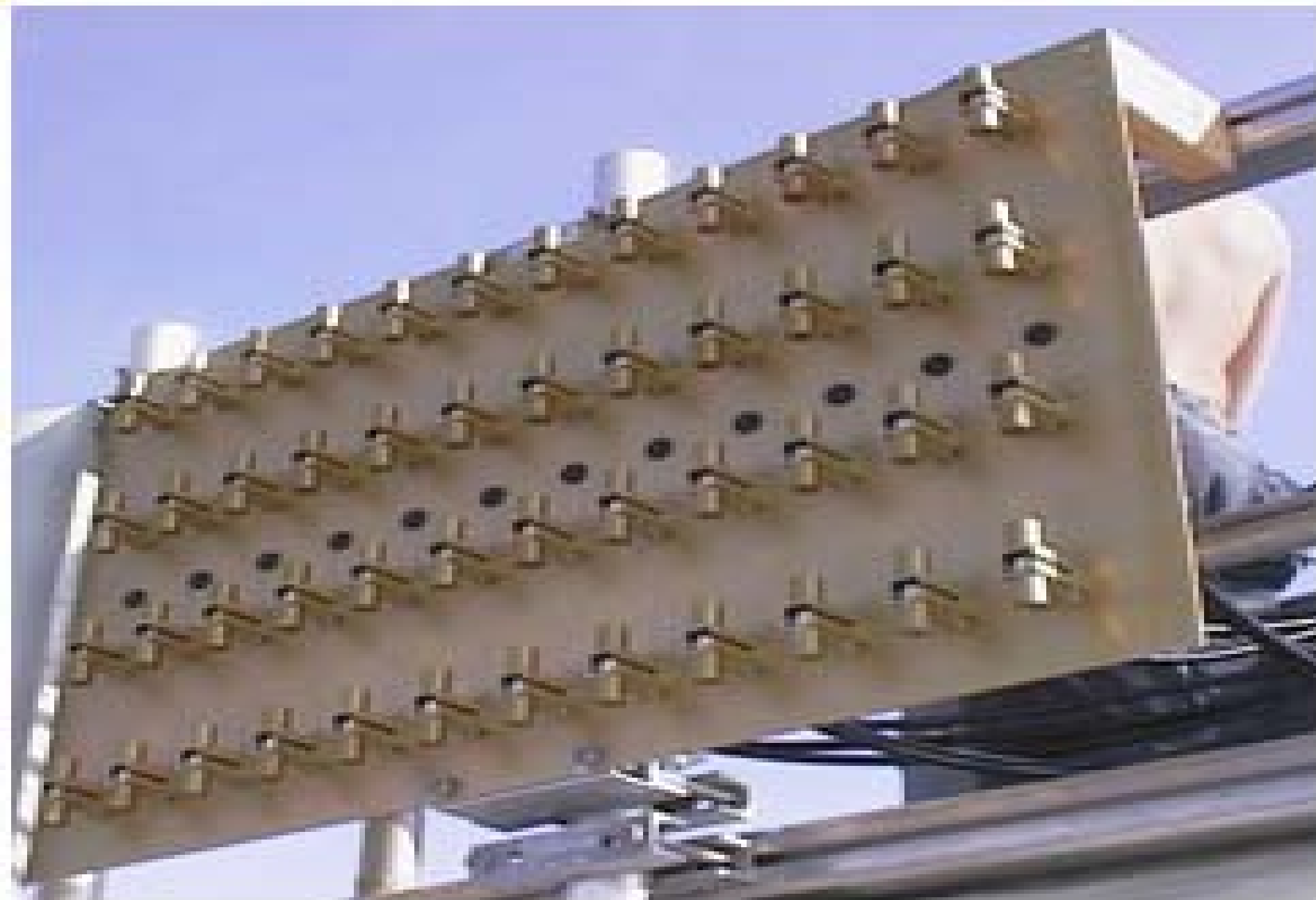
- Diskretne linearne in planarne skupine
- Pravilo o faktorizaciji smernih diagramov
- Dvo- in večelementne skupine dipolov
- Distribucija amplituda vzbujanja:
 - Konstantna distribucija amplitude
 - Upadajoče distribucije amplitude
- Fazno odklanjanje diagrama
 - Električno odklanjanje glavnega snopa
 - Optično odklanjanje glavnega snopa
- Pogreški vzbujanja skupin
- Adaptivne antene

Projekt radioastronomiske skupine

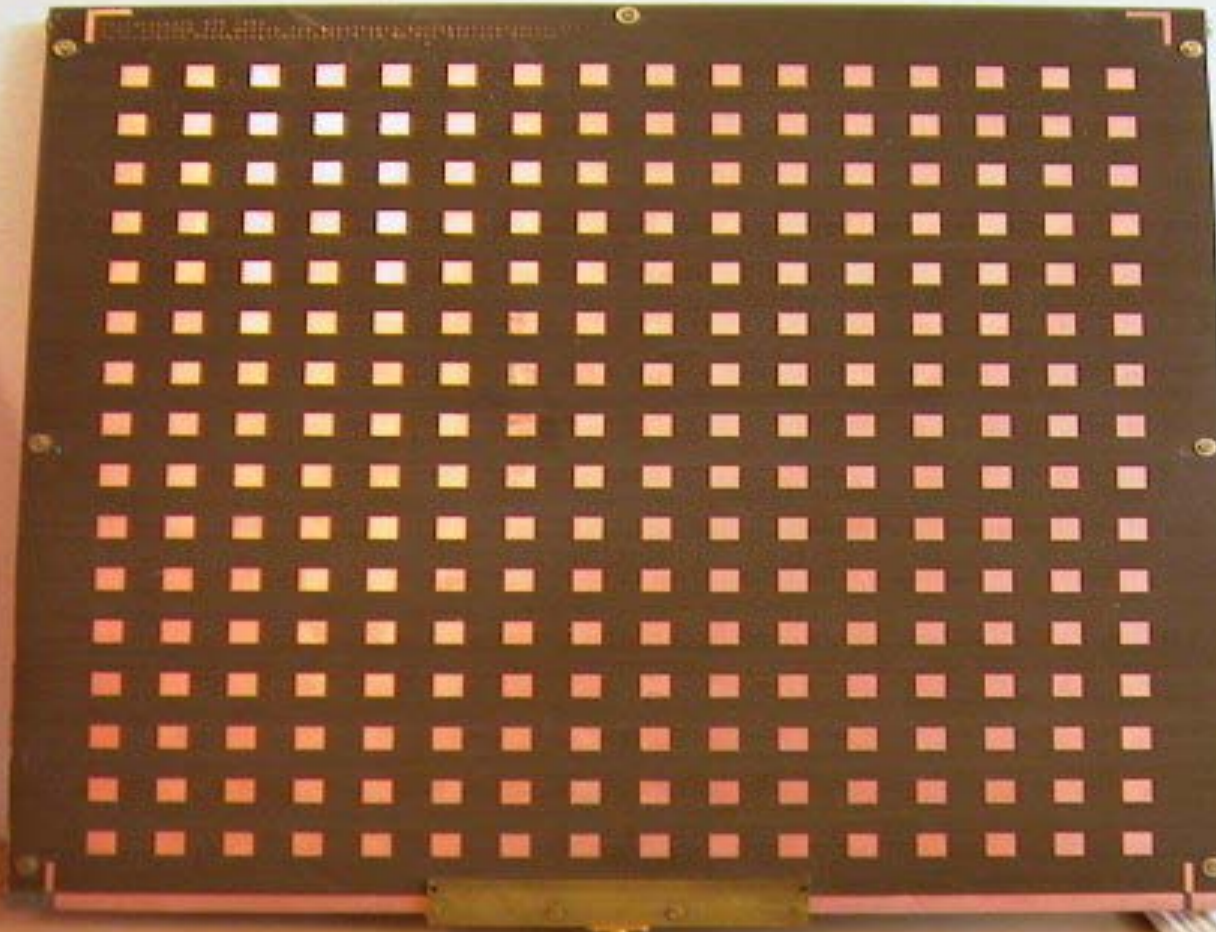


Planarna skupina širokopasovnih dipolov

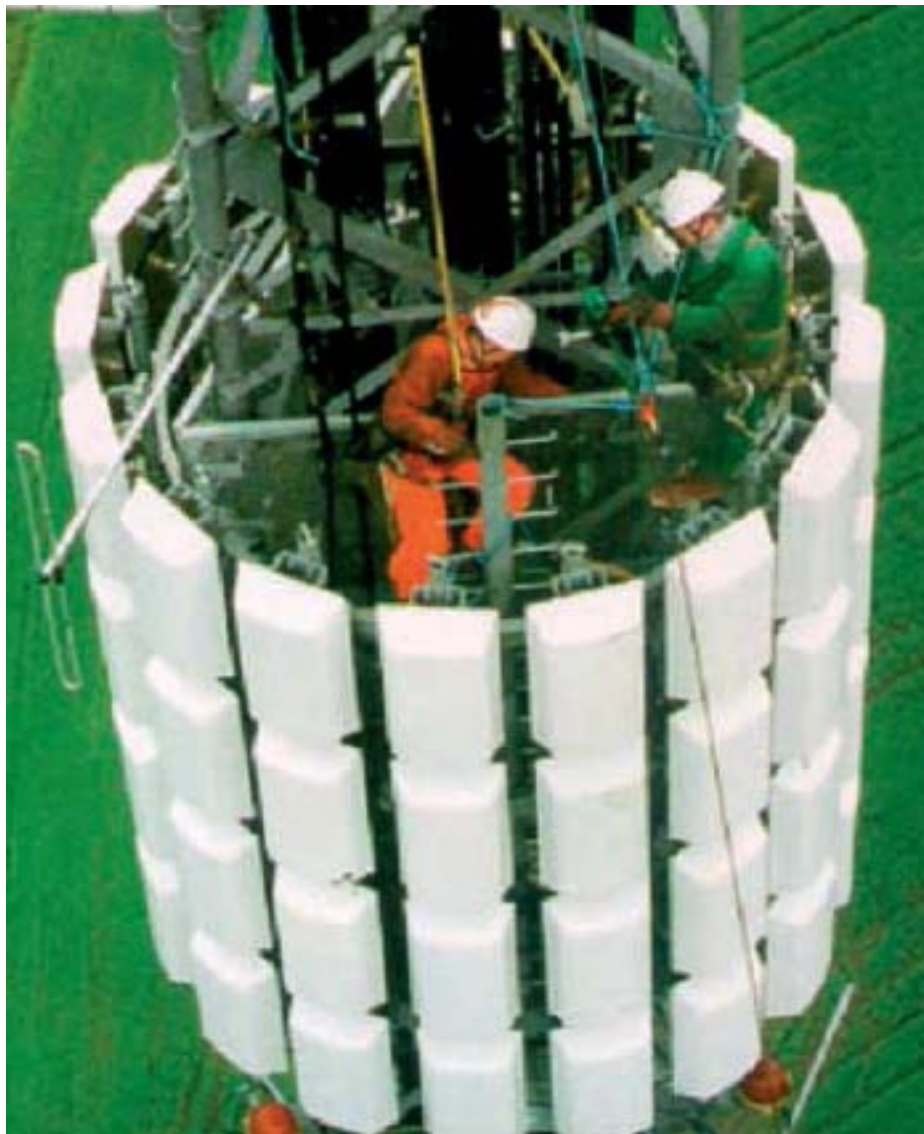
4



Skupina krpičasih anten



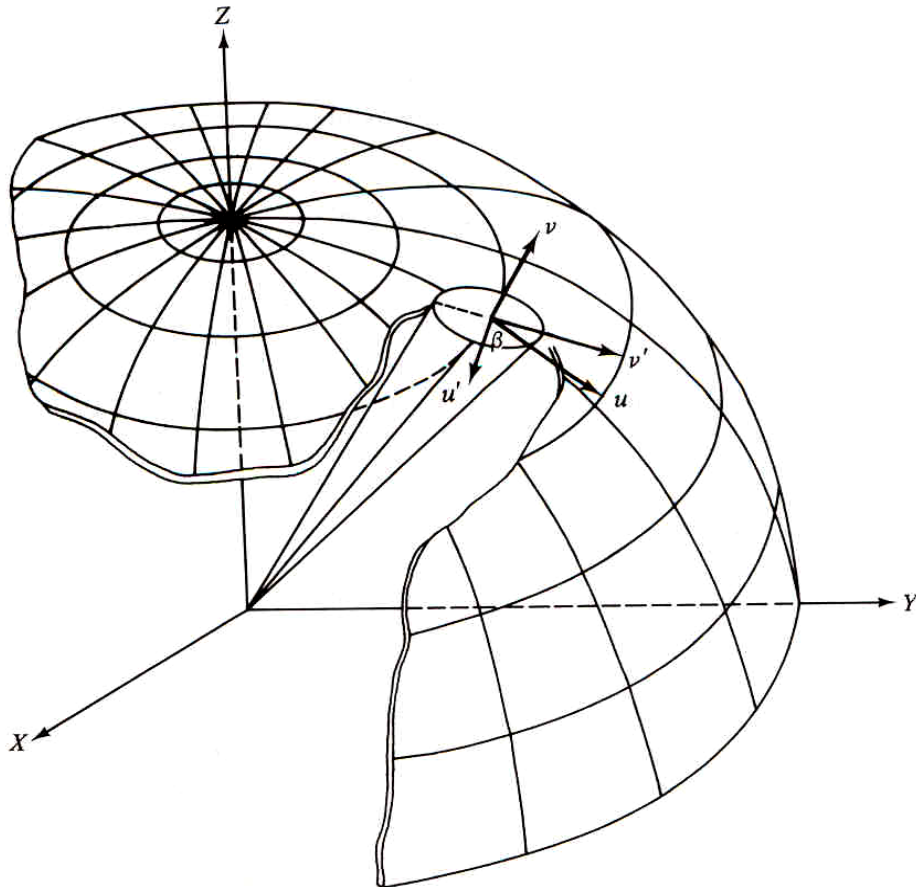
Antenske skupine v telekomunikacijah



Projekt skupine SKA



Krogelni koordinatni sistem in smerni kosinusi



Sevanje anten v prostor obravnavamo v krogelnem koordinatnem sistemu. S projekcijo enotinega radialnega vektorja sledijo smerni kosinusi, ki nastopajo v formulah za smerne diagrame antenskih skupin.

KROGELNI KOORDINATNI SISTEM

$\hat{i}_x = \hat{i}_r \sin\theta \cos\phi + \hat{i}_\theta \cos\theta \cos\phi - \hat{i}_\phi \sin\phi$

$\hat{i}_y = \hat{i}_r \sin\theta \sin\phi + \hat{i}_\theta \cos\theta \sin\phi + \hat{i}_\phi \cos\phi$

$\hat{i}_z = \hat{i}_r \cos\theta - \hat{i}_\theta \sin\theta$

$\hat{i}_r = \hat{i}_x \sin\theta \cos\phi + \hat{i}_y \sin\theta \sin\phi + \hat{i}_z \cos\theta$

$\hat{i}_\theta = \hat{i}_x \cos\theta \cos\phi + \hat{i}_y \cos\theta \sin\phi - \hat{i}_z \sin\theta$

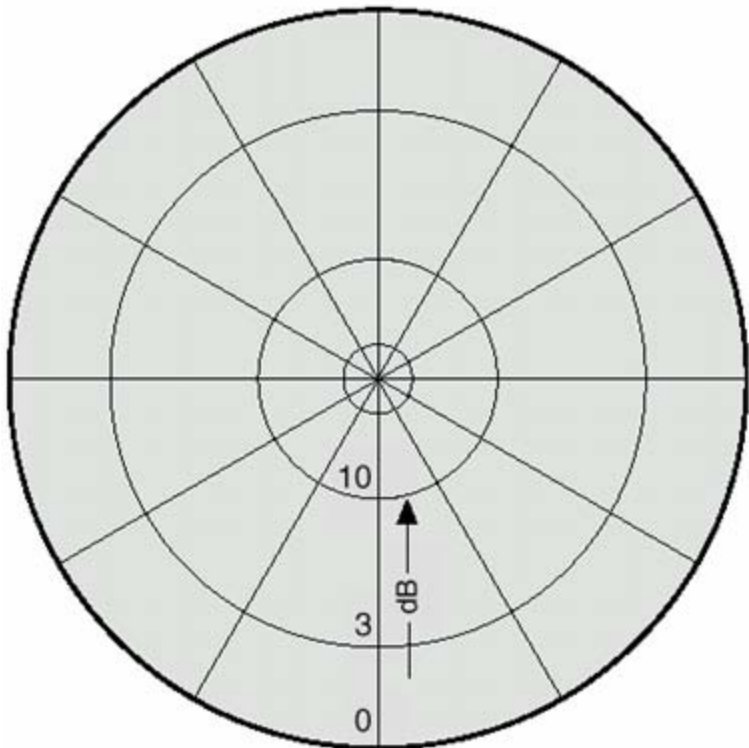
$\hat{i}_\phi = -\hat{i}_x \sin\phi + \hat{i}_y \cos\phi$

$\cos\theta_x = \frac{x}{r} = \sin\theta \cos\phi$

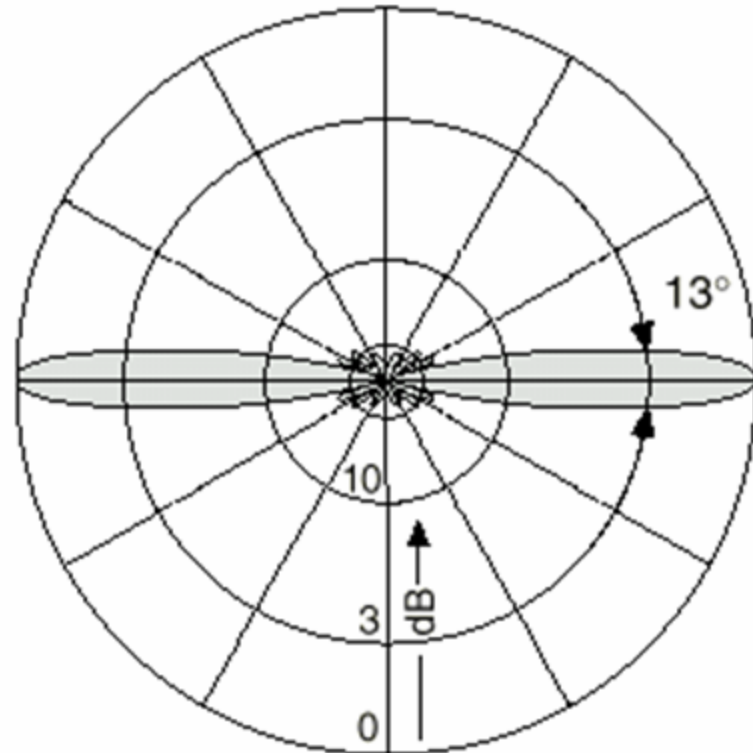
$\cos\theta_y = \frac{y}{r} = \sin\theta \sin\phi$

$\cos\theta_z = \frac{z}{r} = \cos\theta$

Vsesmerni diagram v horizontalni ravni

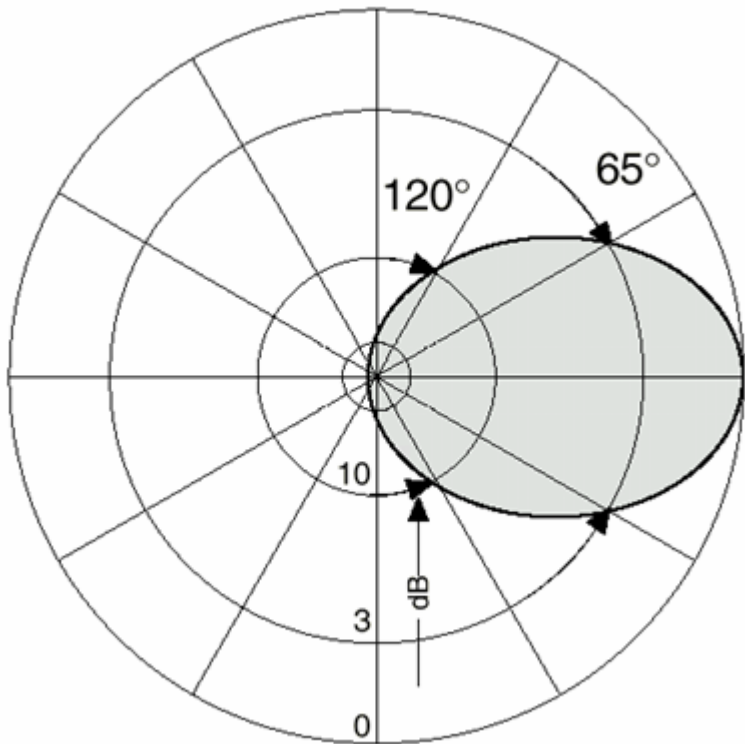


Horizontalna ravnina

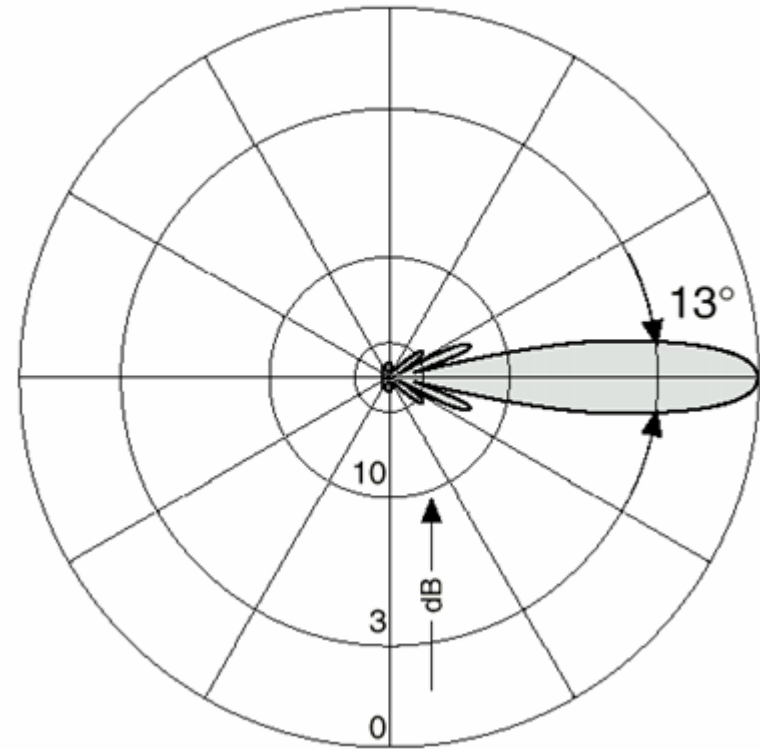


Vertikalna ravnina

Usmerjen diagram v horizontalni ravni



Horizontalna ravnina



Vertikalna ravnina

Vrste skupin

1. Po porazdelitvi:

- Zvezno porazdeljeni viri
- Diskretno porazdeljeni viri

2. Po geometriji:

- Enodimenzionalne (linearne, preme) skupine
- Dvodimenzionalne (ploskovne, površinske) skupine
- Trodimenzionalne (prostorske) skupine

3. Po topologiji virov:

- Skupine ekvidistantnih virov
- Skupine neekvidistantnih virov
- Skupine naključno porazdeljenih virov

4. Po virih:

- Skupine izotropnih virov
- Skupine neizotropnih virov

5. Po načinu vzbujanja faze:

- Stacionarne skupine
- Fazno krmiljene skupine

6. Po načinu vzbujanja amplitude:

- Konstantna porazdelitev
- Upadajoča porazdelitev

7. Po obliki ploskve virov:

- Pravokotna ploskev
- Krožna ploskev
- Eliptična ploskev

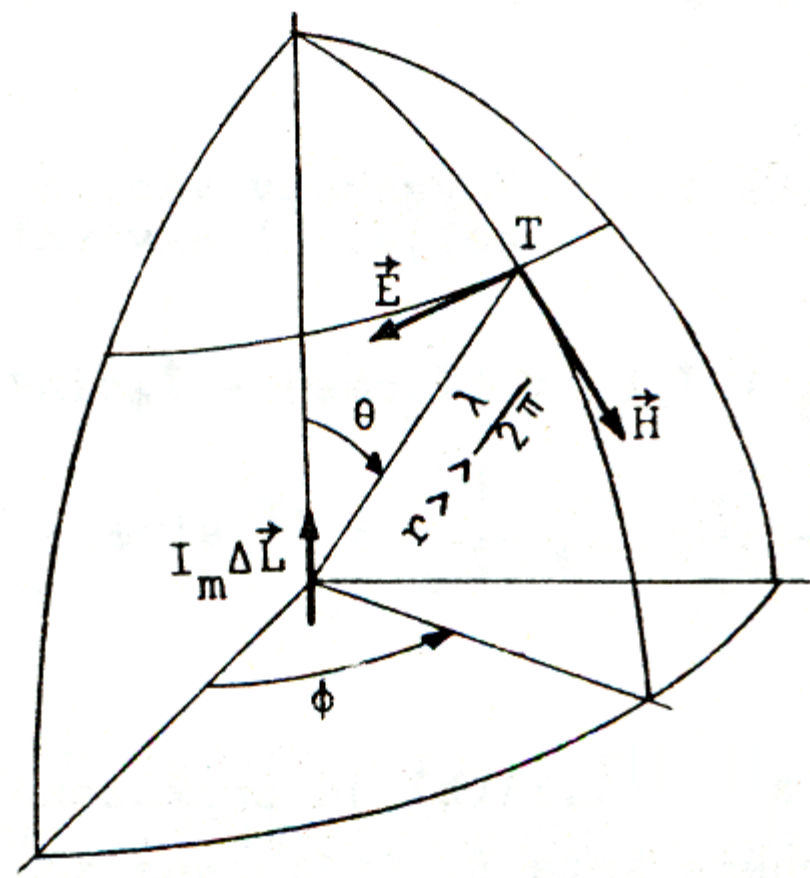
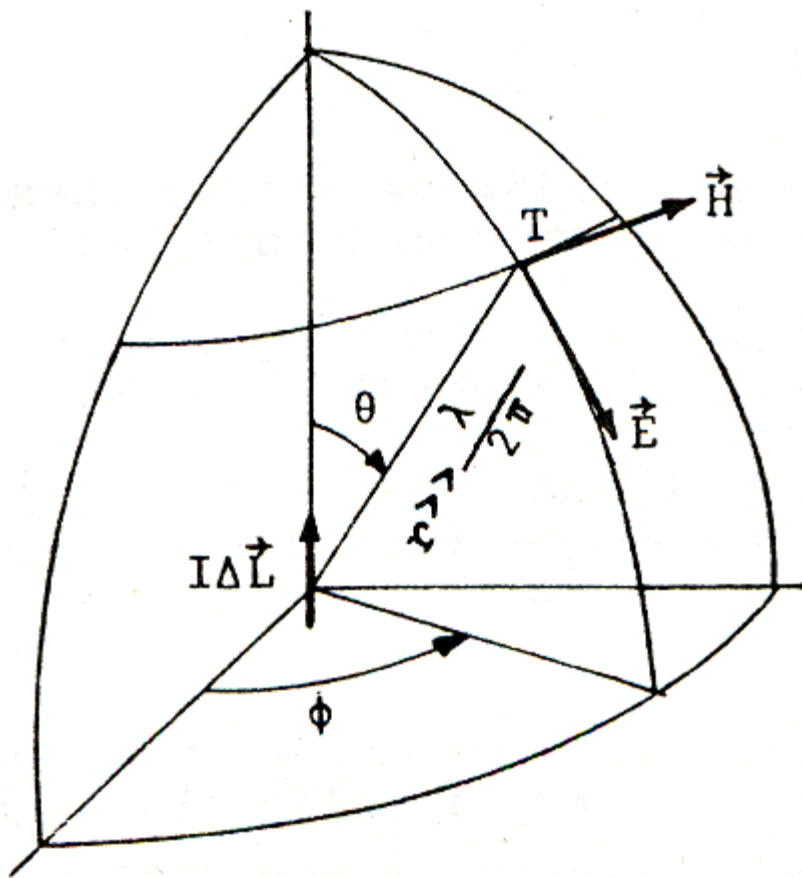
Porazdelitve amplitude

- Konstantna porazdelitev
- Dvignjen kosinus
- Parabolna upadajoča porazdelitev
- Dolph-Čebišev
- Binomska porazdelitev
- Taylor

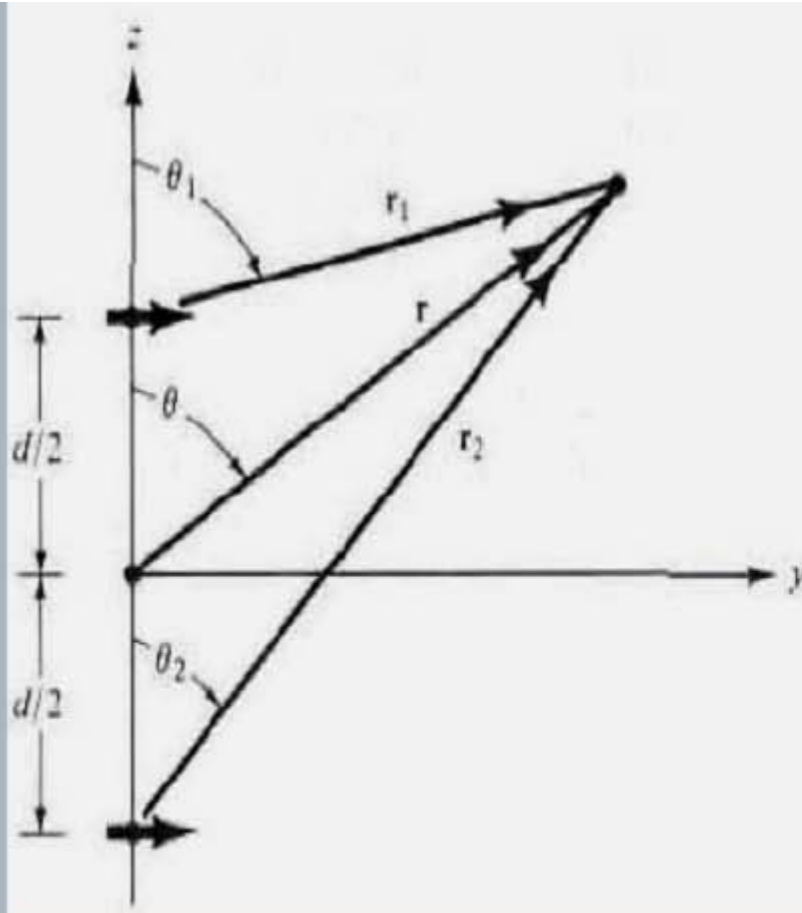
Polje računske sonde

$$\vec{E} = \hat{i}_\theta E_\theta = \hat{i}_\theta j Z_o \frac{I \Delta L}{2\lambda} \sin\theta \frac{e^{-jkr}}{r}, \quad \vec{E} = \hat{i}_\phi E_\phi = -\hat{i}_\phi j \frac{I_m \Delta L}{2\lambda} \sin\theta \frac{e^{-jkr}}{r},$$

$$\vec{H} = \hat{i}_\phi \frac{E_\theta}{Z_o} = \hat{i}_\phi j \frac{I \Delta L}{2\lambda} \sin\theta \frac{e^{-jkr}}{r}, \quad \vec{H} = -\hat{i}_\theta \frac{E_\phi}{Z_o} = \hat{i}_\theta j \frac{I_m \Delta L}{2\lambda Z_o} \sin\theta \frac{e^{-jkr}}{r}.$$



Skupina dveh elementov



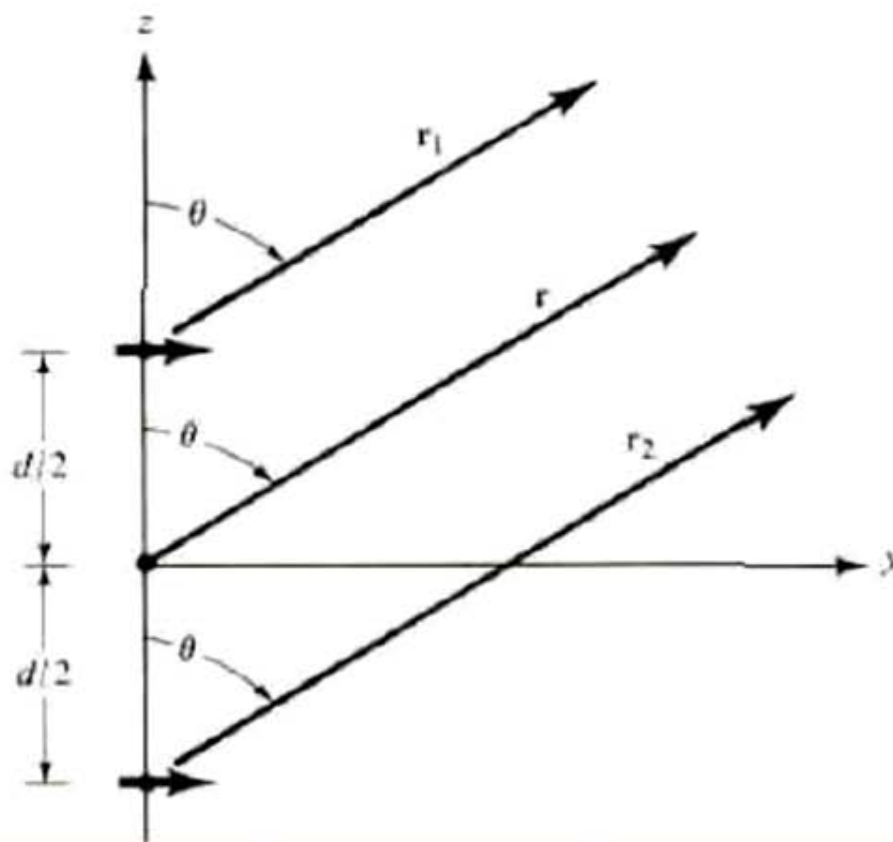
$$\theta_1 \approx \theta_2 \approx \theta$$

$$r_1 \approx r_2 \approx r - \frac{d}{2} \cos \theta$$

$$r_1 \approx r_2 \approx r$$

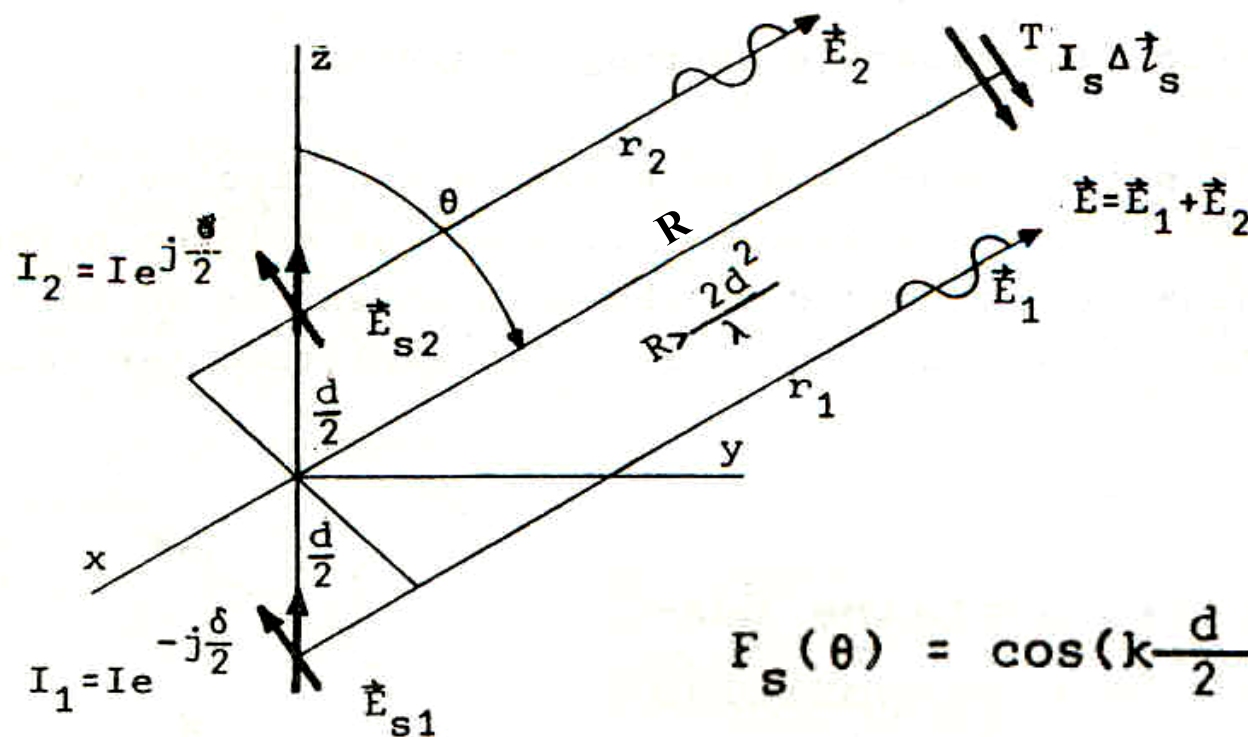
$$E_t = E_1 + E_2 = \hat{a}_\theta j \eta \frac{k I_0 l}{4\pi} \left\{ \frac{e^{-j[kr_1 - (\beta/2)]}}{r_1} \cos \theta_1 + \frac{e^{-j[kr_2 - (\beta/2)]}}{r_2} \cos \theta_2 \right\}$$

Skupina dveh elementov



$$E_t = \hat{a}_\theta j \eta \frac{k I_0 l e^{-jkr}}{4\pi r} \cos \theta \cdot 2 \cos \left[\frac{1}{2} (kd \cos \theta + \beta) \right]$$

Dvoelementna skupina elementarnih dipolov



$$F_s(\theta) = \cos(k \frac{d}{2} \cos \theta + \frac{\delta}{2})$$

$$\vec{E}(T) \vec{i}_\theta I_s \Delta l_s = E(T) I_s \Delta l_s = \vec{E}_{s1} \vec{i}_z I_1 \Delta l + \vec{E}_{s2} \vec{i}_z I_2 \Delta l.$$

$$\vec{E}(T) = \vec{i}_\theta j Z_o \frac{I \Delta l}{2\lambda} \frac{e^{-jkR}}{R} \sin \theta \ 2 \cos(k \frac{d}{2} \cos \theta + \frac{\delta}{2}).$$

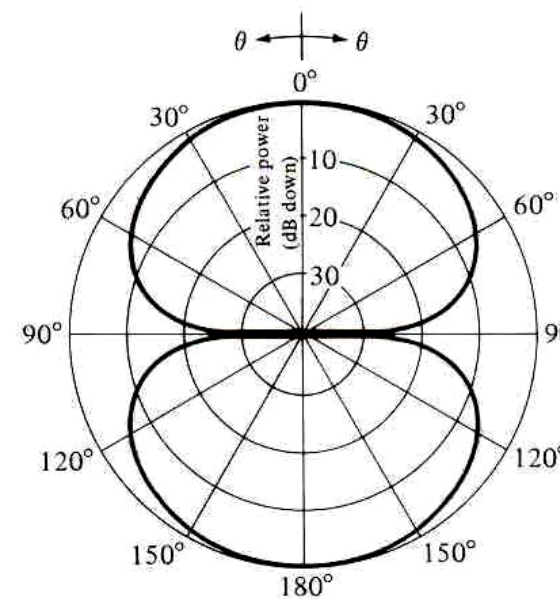
$$F(\theta) = \sin \theta \cos(k \frac{d}{2} \cos \theta + \frac{\delta}{2})$$

Skupina dveh elementarnih dipolov v smeri osi y

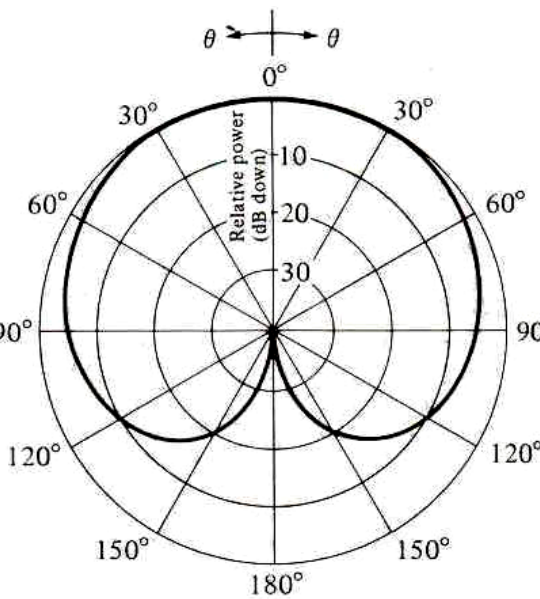
Podatki:

- Enaki amplitudi
- Fazna razlika -90^0
- Razdalja $\lambda/4$

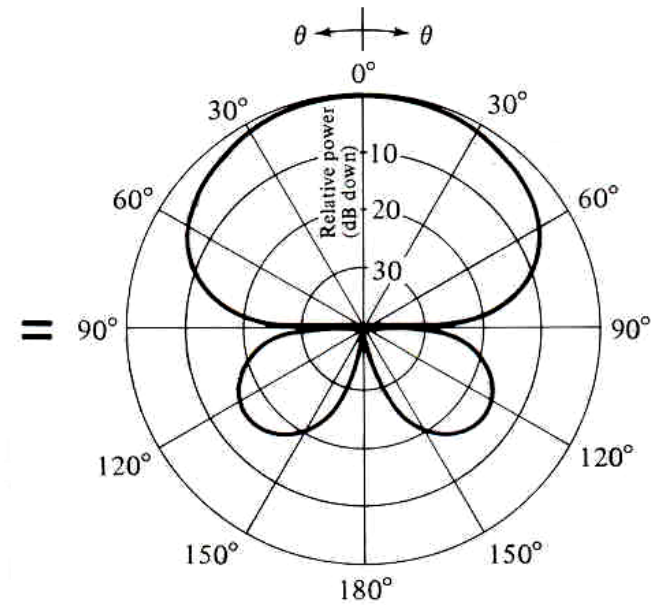
Iz primera je razvidno, da lahko z dvoelementno skupino oblikujemo smerni diagram na različne načine, če primerno izberemo fazno razliko pri enakih amplitudah.



Elementarni dipol



Skupina izotropnih virov



Skupina elementarnih dipolov

Faktorizacija diagramov

Vrste antenskih skupin:

- Enodimenzionalna (linearna, prema) skupina anten (virov)
- Dvodimenzionalna (ploskovna, ravninska) skupina anten (virov)
- Trodimenzionalna (prostorska) skupina anten (virov)

Izrek o faktorizaciji: Smerni diagram $F(\theta, \phi)$ skupine usmerjenih virov je produkt smernega diagrama vira $F_v(\theta, \phi)$ in smernega diagrama skupine izotropnih virov $F_s(\theta, \phi)$:

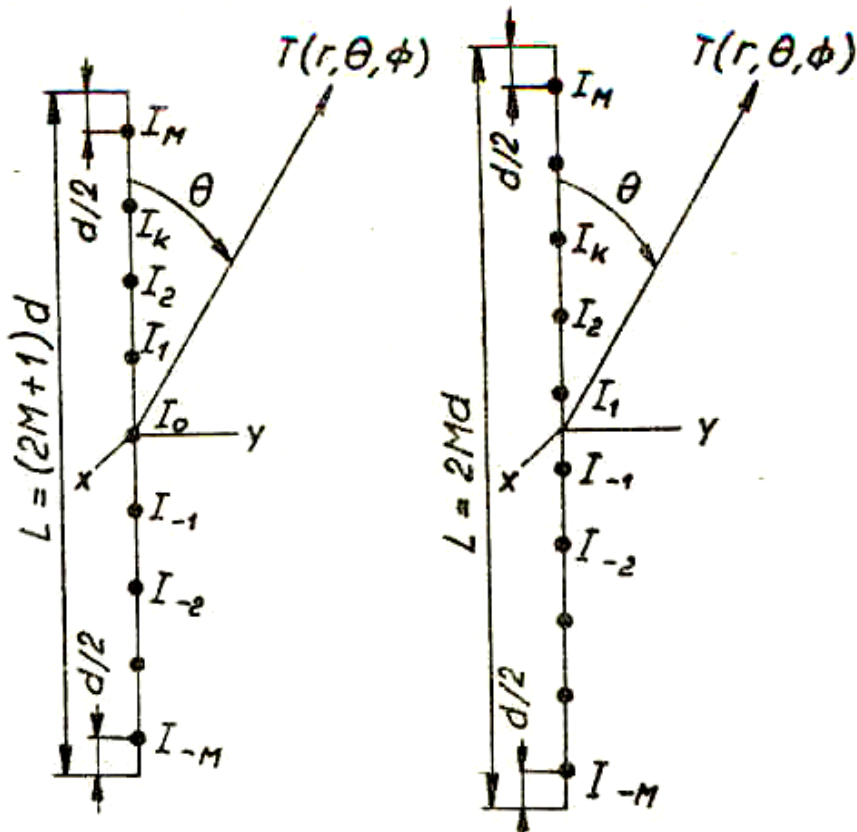
$$F(\theta, \phi) = F_v(\theta, \phi) F_s(\theta, \phi)$$

$$F(\theta, \phi) = F_v(\theta, \phi) F_s(\theta, \phi); \quad \text{absolutna vrednost}$$

$$\text{Arg}(F(\theta, \phi)) = \text{Arg}(F_v(\theta, \phi)) + \text{Arg}(F_s(\theta, \phi)); \quad \text{faza}$$

Ekvidistantna linearna in planarna skupina

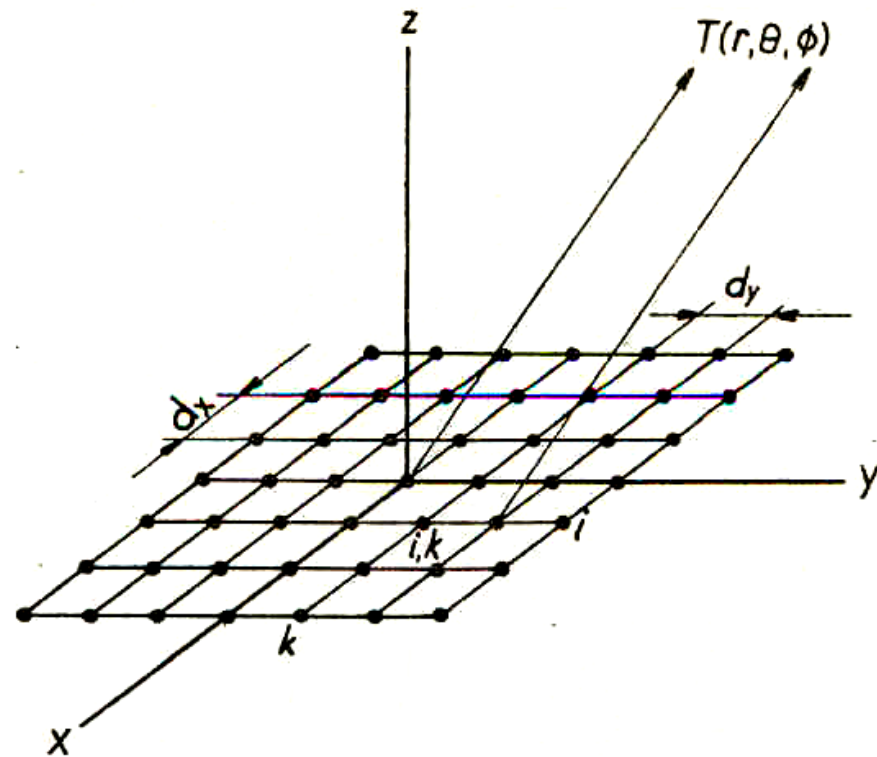
Prema skupina izotropnih virov



d ekvidistantna razdalja v smeri z
med $(2M+1)$ viri

$$I_m = |I_m| \exp(j\delta_m), \text{ tok, } m = -M, \dots, 0, \dots, M$$

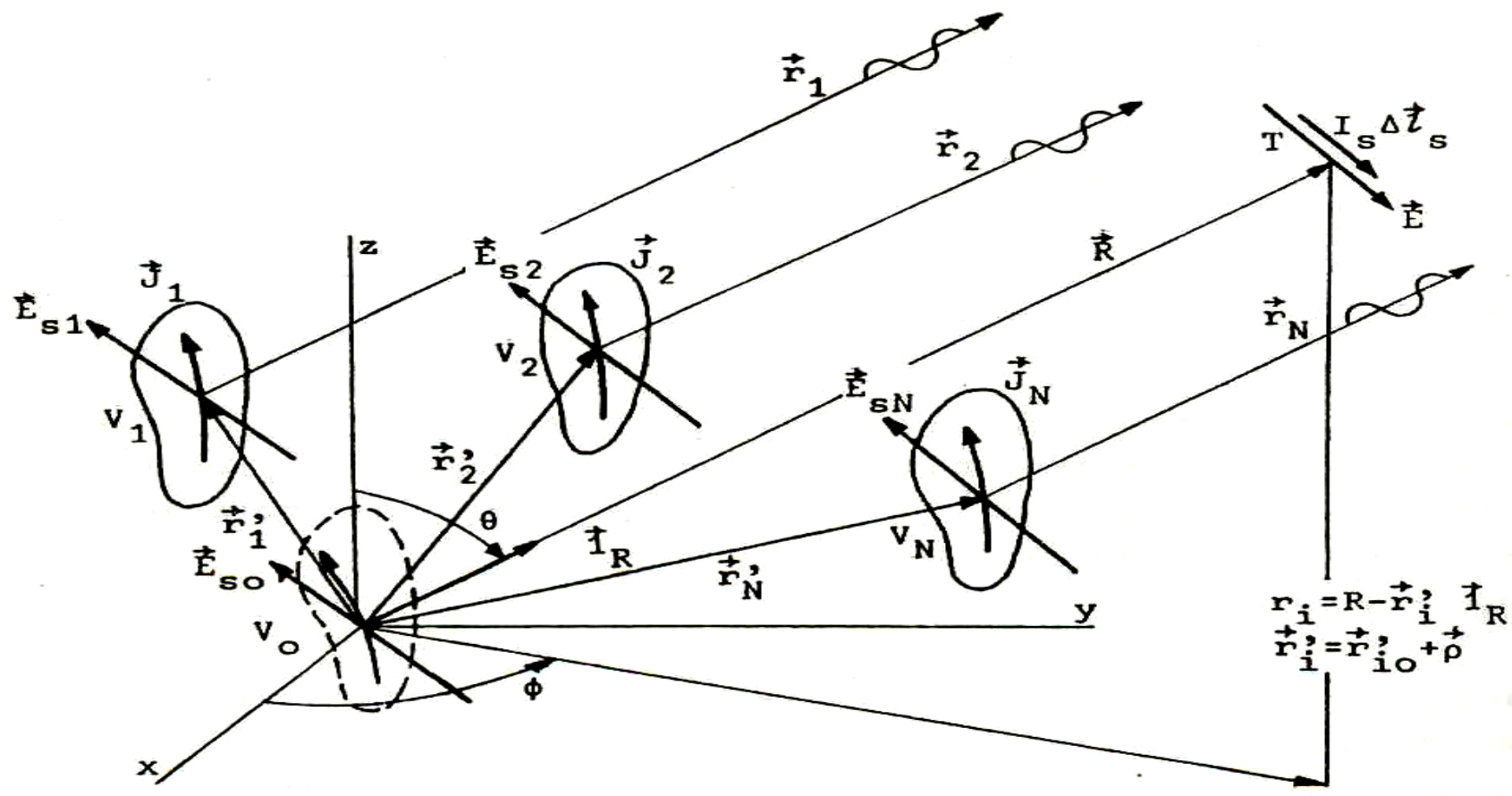
Ravninska skupina izotropnih virov



d_x, d_y ekvidistantna razdalja v smereh x in y med $(2M+1) \times (2N+1)$ viri

$$I_{m,n} = |I_{m,n}| \exp(j\delta_m) \exp(j\delta_n), \text{ tok, } m = -M, \dots, 0, \dots, M; n = -N, \dots, 0, \dots, N;$$

Peostorska skupina anten



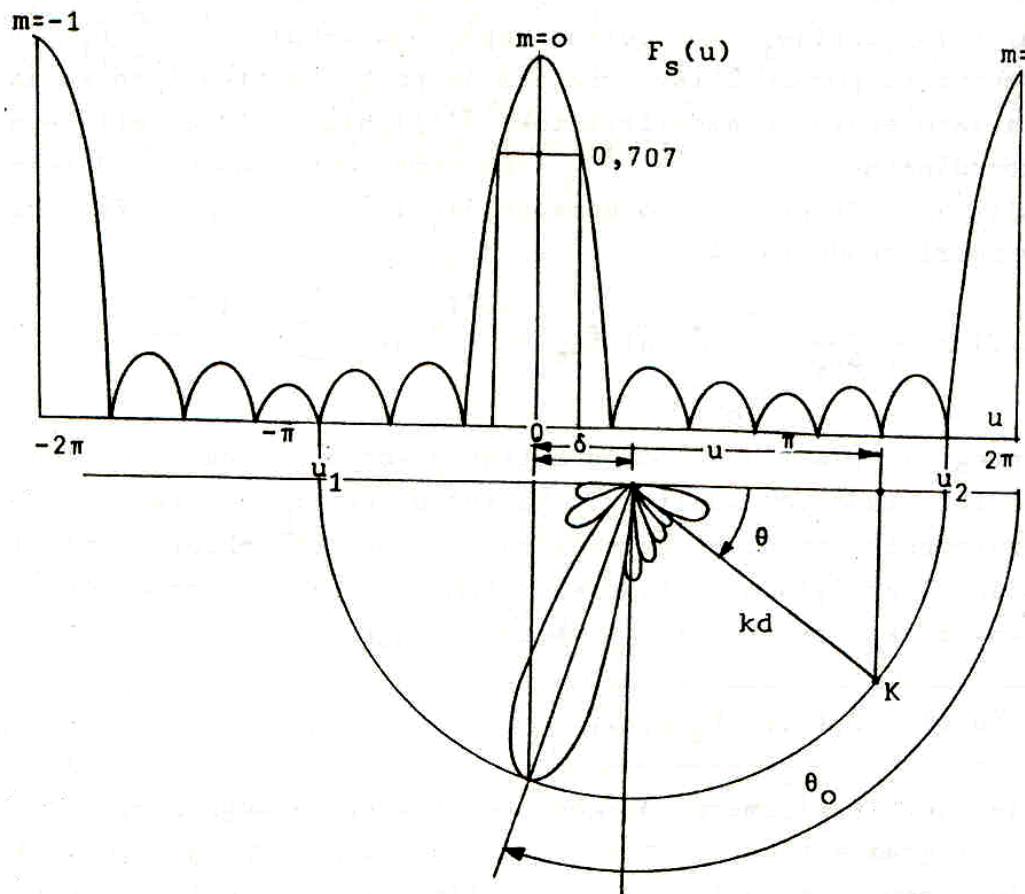
Prostorsko skupino anten nadomestimo z izotropnimi viri:

- Namestimo jih v fazna središča anten v skupini (točka navideznega izhajanja vala)
- Vzbujamo jih z enako amplitudo in fazo kot resnične antene.

Normirani smerni diagram ekvidistantne preme²¹ skupine s konstantnim vzbujanjem amplitude

Podatki:

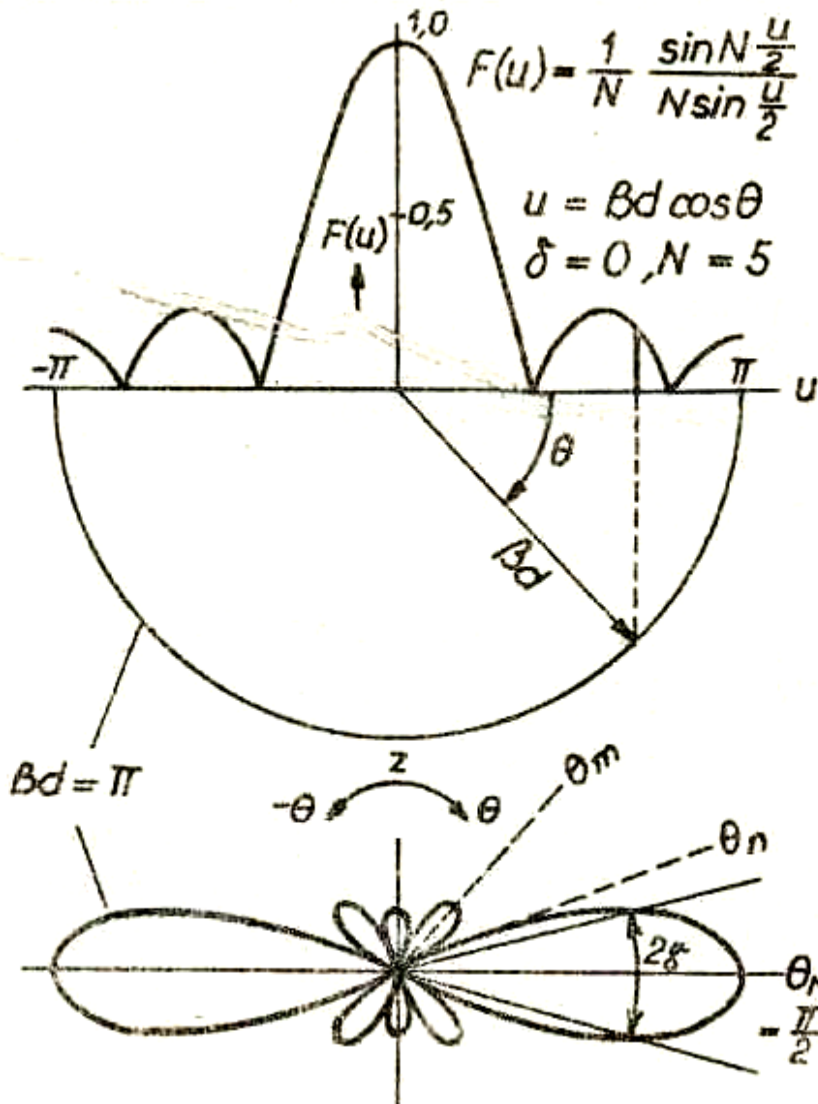
- Enake amplitude
- Enaka faza razlika δ
- Enaka razdalja d
- Število elementov N
- Smer glavnega snopa
 $\theta_{\max} = 0^\circ$



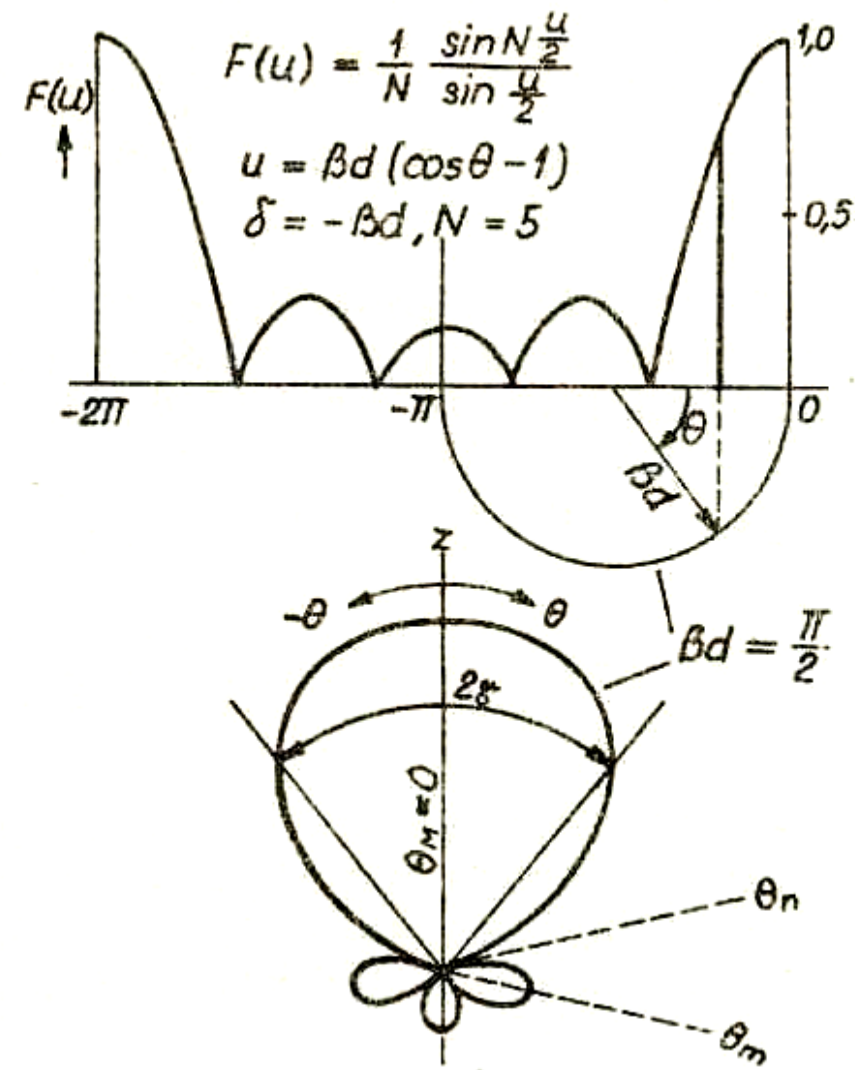
$$\begin{aligned}
 F_s(u) &= \frac{1}{N} e^{-jNu} \frac{1-e^{jNu}}{1-e^{ju}} = \frac{1}{N} \frac{jNu}{\sin \frac{1}{2} u} = \\
 &= \frac{1}{N} \frac{\sin(\frac{N}{2}(kd\cos\theta + \delta))}{\sin(\frac{1}{2}(kd\cos\theta + \delta))} = \frac{1}{N} \frac{\sin(\frac{N}{2}kd(\cos\theta - \cos\theta_0))}{\sin(\frac{1}{2}kd(\cos\theta - \cos\theta_0))}
 \end{aligned}$$

Bočna in osna skupina 1/4

BOČNA



OSNA



Bočna in osna skupina 2/4

Lega glavnega snopa			
$\theta_M = \frac{\pi}{2}$,	$\frac{d}{\lambda} < 1$	$\theta_M = 0$,	$\frac{d}{\lambda} < \frac{1}{2}$
Širina glavnega snopa			
$2\gamma = \arccos(-0,443 \frac{\lambda}{L}) -$ $- \arccos(0,443 \frac{\lambda}{L})$		$2\gamma = 2\arccos(1 - 0,443 \frac{\lambda}{L})$	
$2\gamma \doteq 0,886 \frac{\lambda}{L}$,	$L > 5\lambda$	$2\gamma \doteq 2\sqrt{0,886 \frac{\lambda}{L}}$,	$L > 5\lambda$
Lega ničel			
$\theta_n = \arccos \frac{n2\pi}{N\beta d}$, $n = \pm 1, \pm 2, \dots$ $ n \leq \frac{N\beta d}{2\pi}$		$\theta_n = \arccos(1 + \frac{n2\pi}{N\beta d})$, $n = -1, -2, \dots$ $ n < \frac{N\beta d}{\pi}$	
$\frac{\pi}{2} - \theta_n = \arcsin \frac{n2\pi}{N\beta d} \doteq \frac{n\lambda}{Nd}$		$\theta_n = 2\arcsin(\pm \sqrt{\frac{ n \pi}{N\beta d}}) \doteq \pm 2\sqrt{\frac{ n \pi}{N\beta d}}$	
Kot med prvima ničlama			
$2\gamma_n = 2\arcsin \frac{2\pi}{N\beta d}$		$2\gamma_n = 4\arcsin \sqrt{\frac{\pi}{N\beta d}}$	
$2\gamma_n \doteq \frac{4\pi}{N\beta d} = \frac{2\lambda}{Nd}$		$2\gamma_n \doteq 4\sqrt{\frac{\pi}{N\beta d}} = 2\sqrt{\frac{2\lambda}{Nd}}$	

Bočna in osna skupina 3/4

Bočna	Osna
Lega stranskih snopov	
$\theta_m = \arccos\left(\pm \frac{2m+1}{N\beta d}\pi\right), m = 1, 2, \dots$ $m < \frac{N\beta d}{2\pi} - \frac{1}{2}$ $\frac{\pi}{2} - \theta_m \doteq \pm \left(m + \frac{1}{2}\right) \frac{\lambda}{Nd}$	$\theta_m = \arccos\left(-\frac{(2m+1)\pi}{N\beta d} + 1\right), m = 1, 2, \dots$ $m < \frac{N\beta d}{\pi} - \frac{1}{2}$ $\theta_m = 2\arcsin\left(\pm \sqrt{\frac{(m+\frac{1}{2})\pi}{N\beta d}}\right) \doteq \pm 2\sqrt{\frac{(m+\frac{1}{2})\pi}{N\beta d}}$
Velikost stranskih snopov	
$F(\theta_m) = \frac{(-1)^m}{\sqrt{1 + (N^2 - 1) \sin^2 \frac{u_m}{2}}}, u_m = \beta d \cos \theta_m + \delta$	
Smernost	
$D = \frac{N}{1 + \sum_{k=1}^{N-1} 2\left(1 - \frac{k}{N}\right) \frac{\sin k\beta d}{k\beta d}}$	$D = \frac{N}{1 + \sum_{k=1}^{N-1} 2\left(1 - \frac{k}{N}\right) \frac{\sin 2k\beta d}{2k\beta d}}$

Bočna in osna skupina 4/4

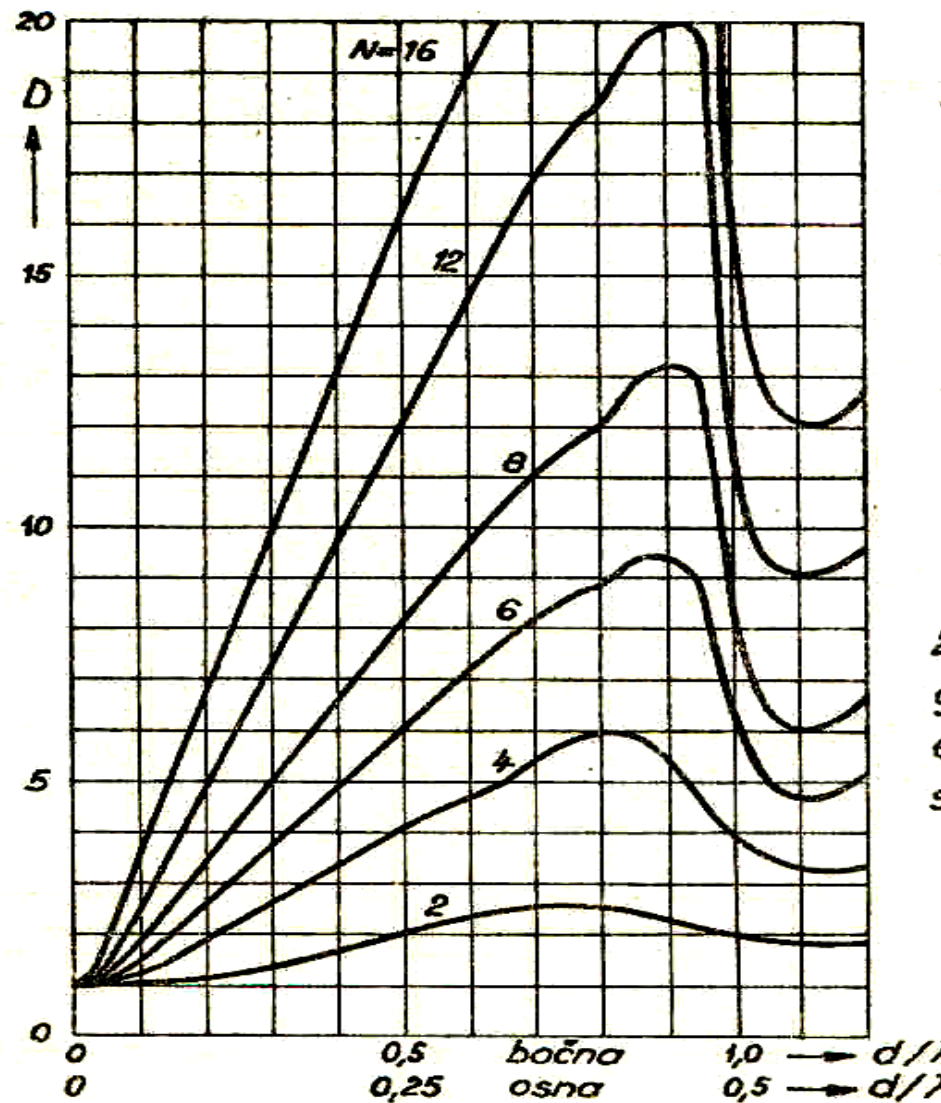
$$d = \frac{\lambda}{2}, \lambda$$

$$D = N$$

$$D = \frac{2L}{\lambda}$$

$$D = \frac{1,77}{2g} [\text{rad}]$$

$$D = \frac{101,5}{2g} [^{\circ}]$$



$$d = \frac{\lambda}{2}, \lambda$$

$$D = N$$

$$D = \frac{2L}{\lambda}$$

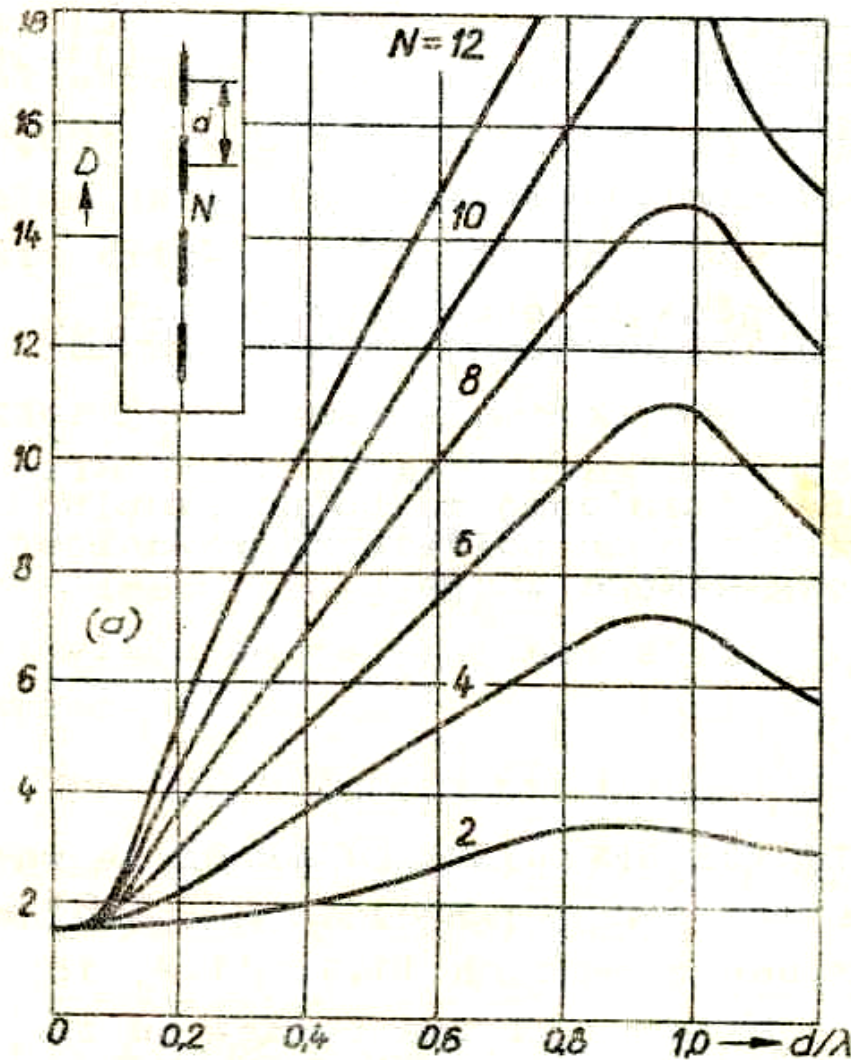
$$D = \frac{1,77}{2g} [\text{rad}]$$

$$D = \frac{101,5}{2g} [^{\circ}]$$

2g je širina
glavnega snopa
enake bočni
skupini 2.

Smernost bočne skupine elementarnih dipolov²⁶

Dipolska vrstica



Dipolska lestvica

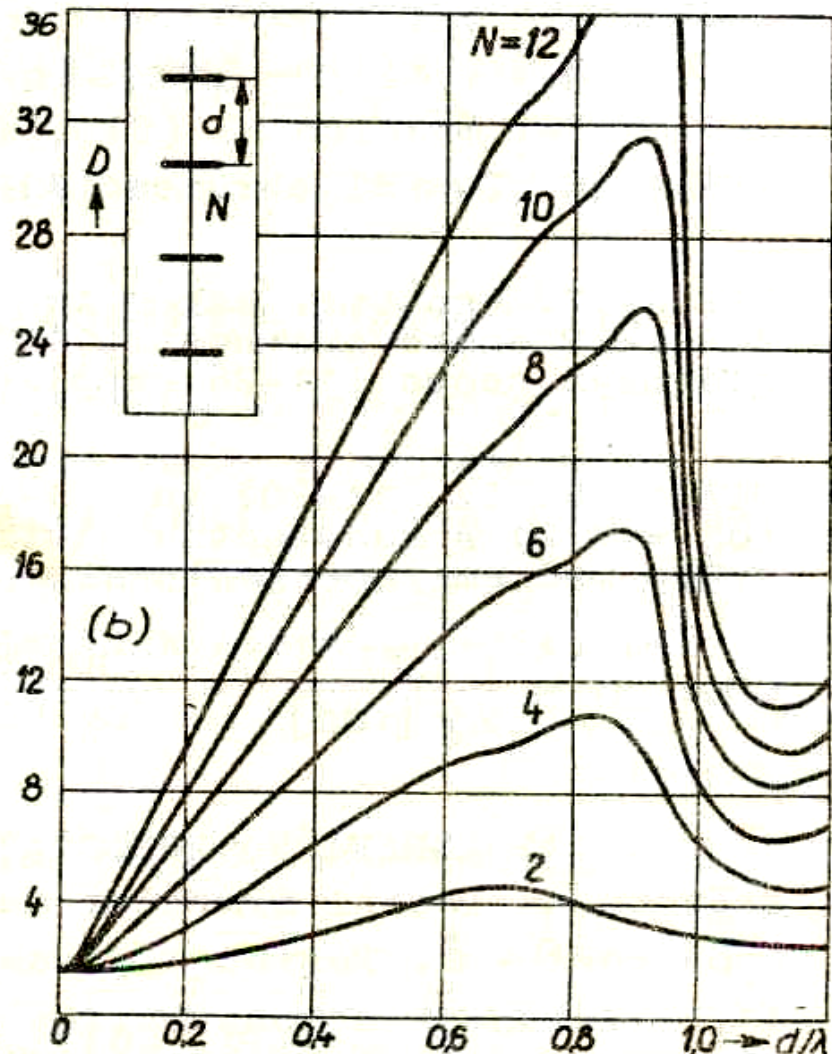
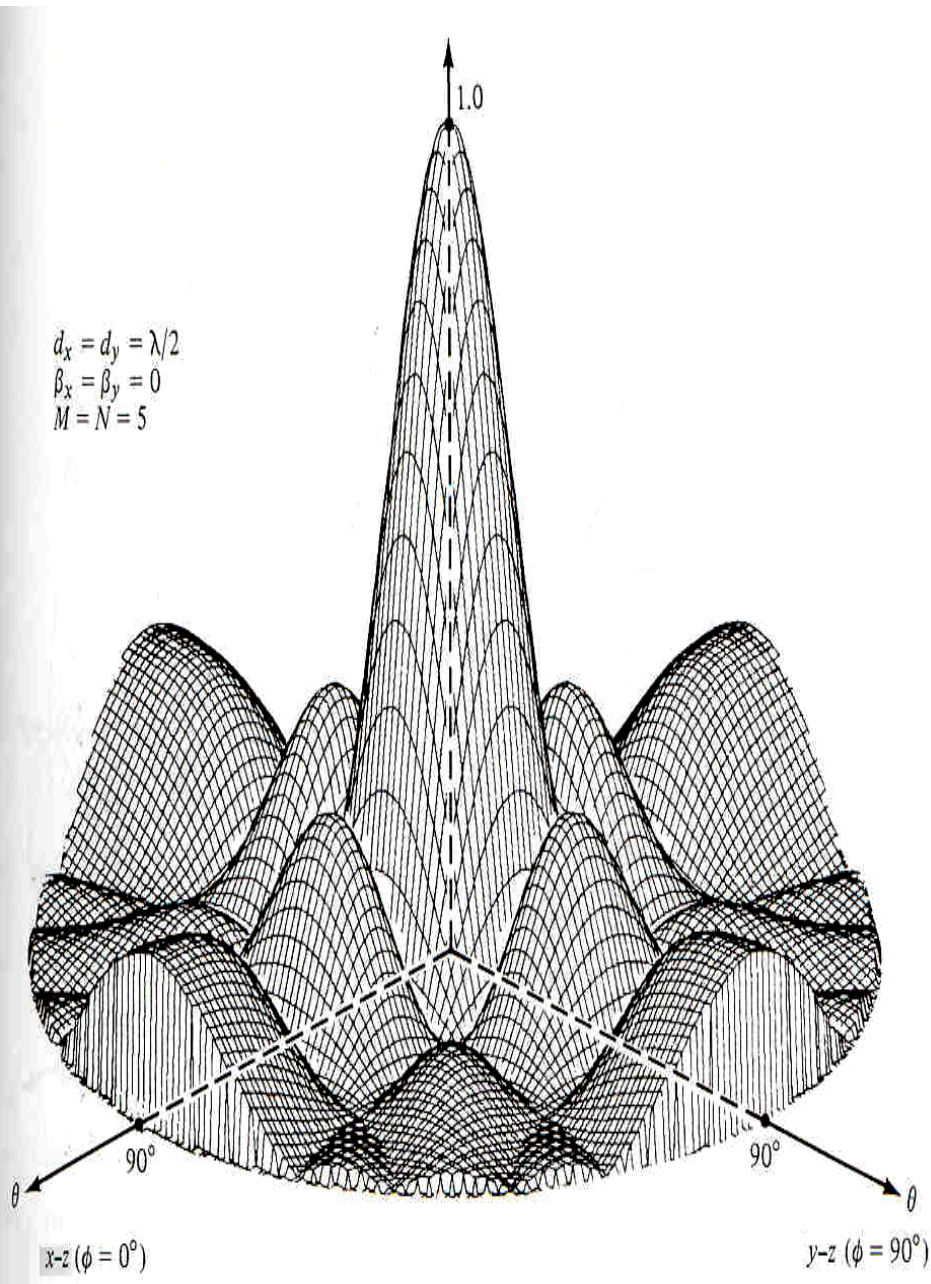
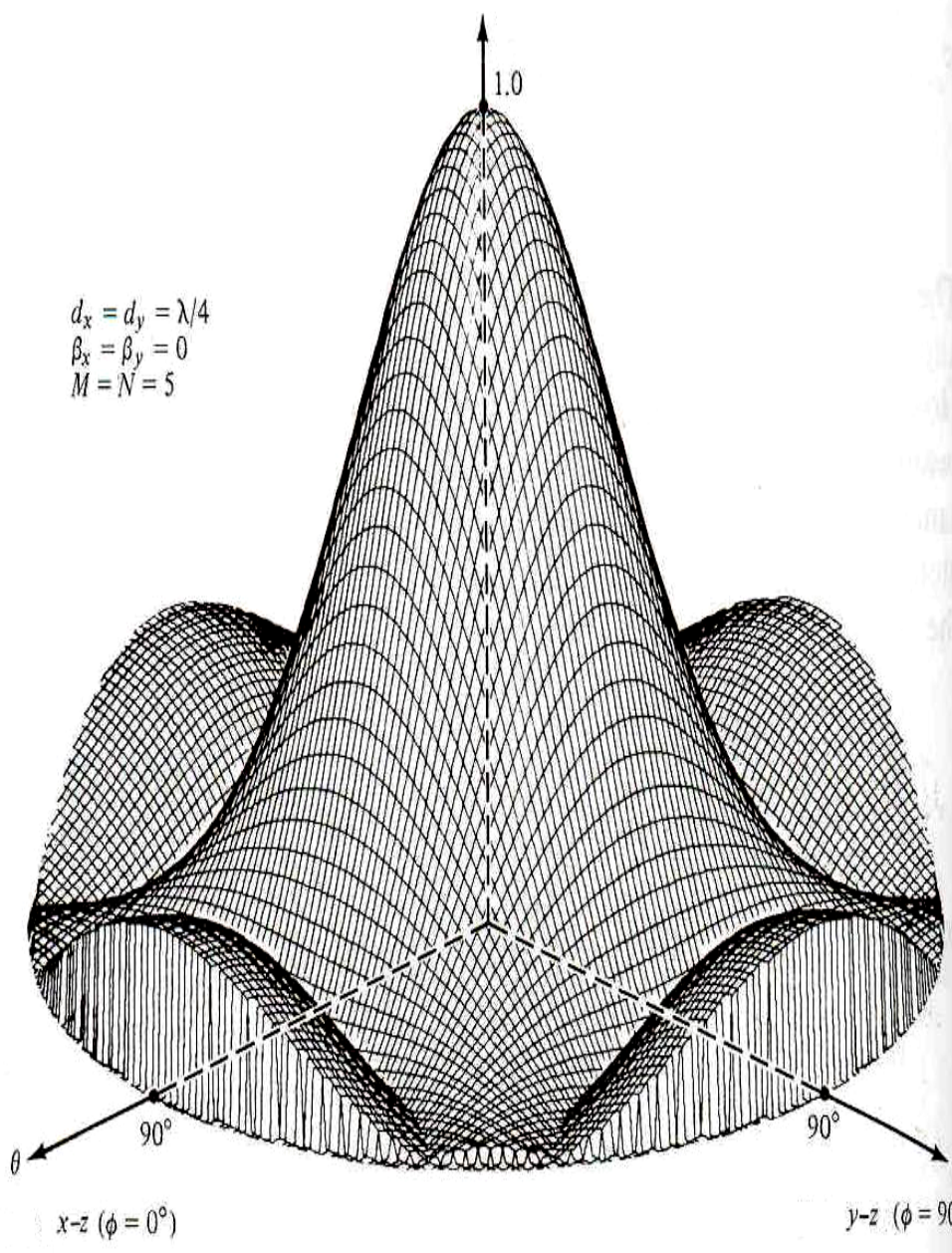


Diagram sofazne bočne skupine

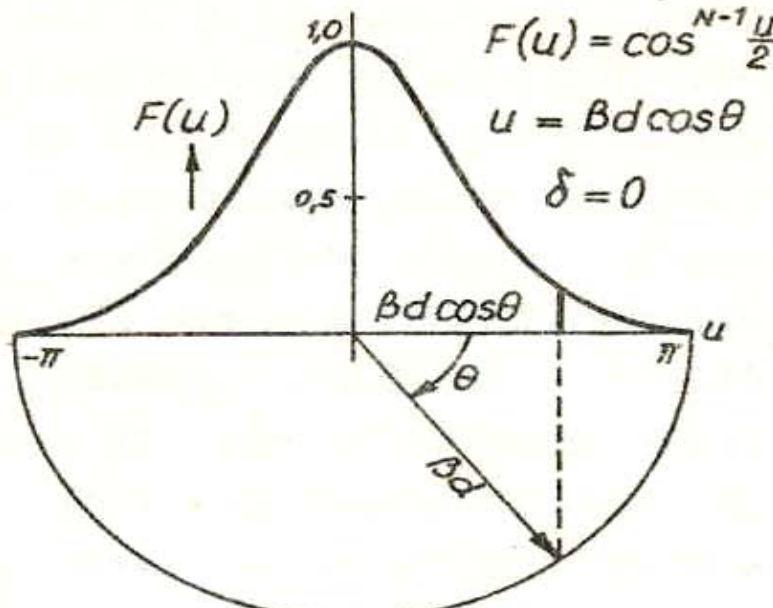


Binomska skupina izotropnih virov 1/2²⁸

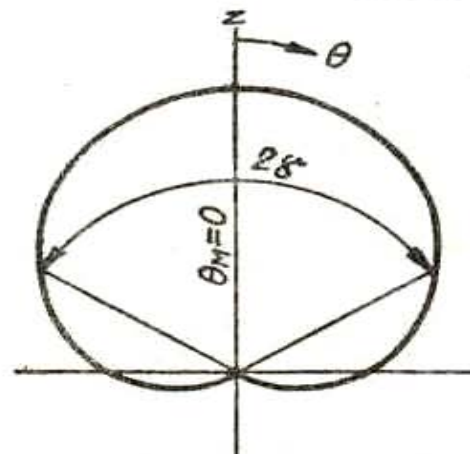
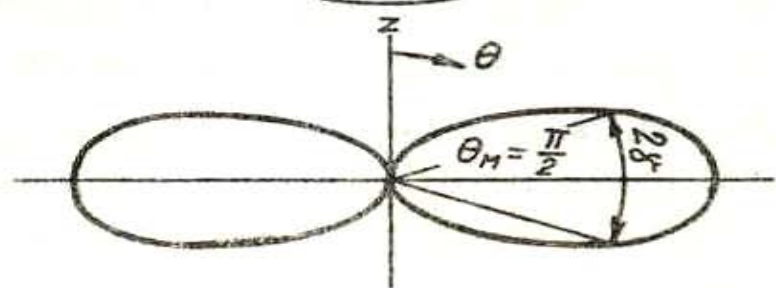
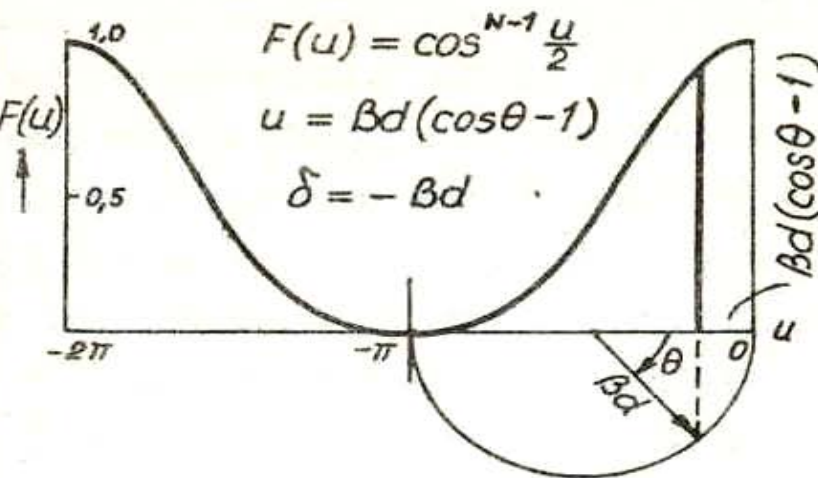
Primer upadajoče distribucije po binomskih koeficientih (diskretna analogija zvezne Gaussove distribucije)

TABELA 11.5. BINOMSKA DISTRIBUCIJA

BOČNA

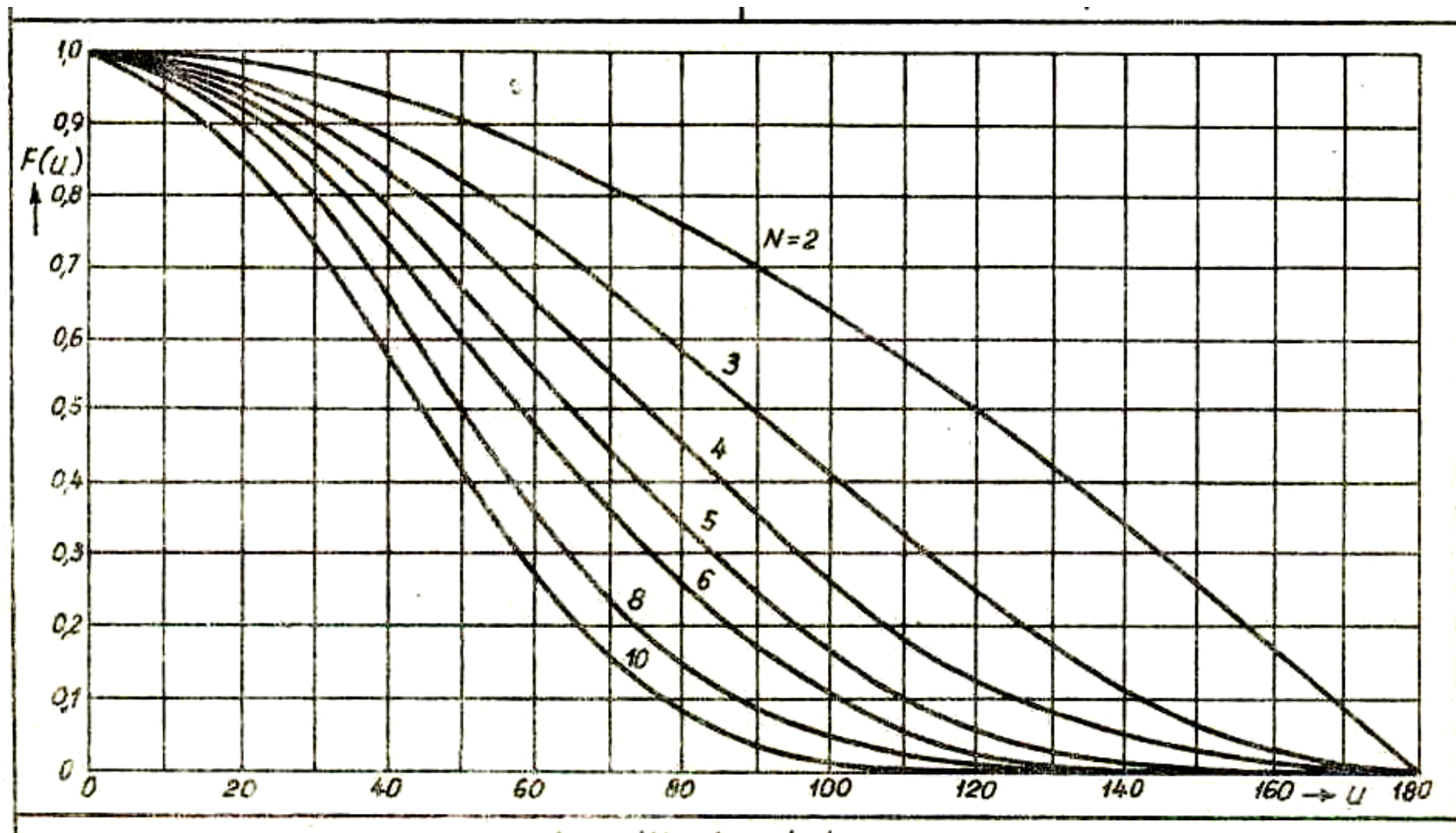


OSNA



Binomska skupina izotropnih virov 2/2

Smerni diagram



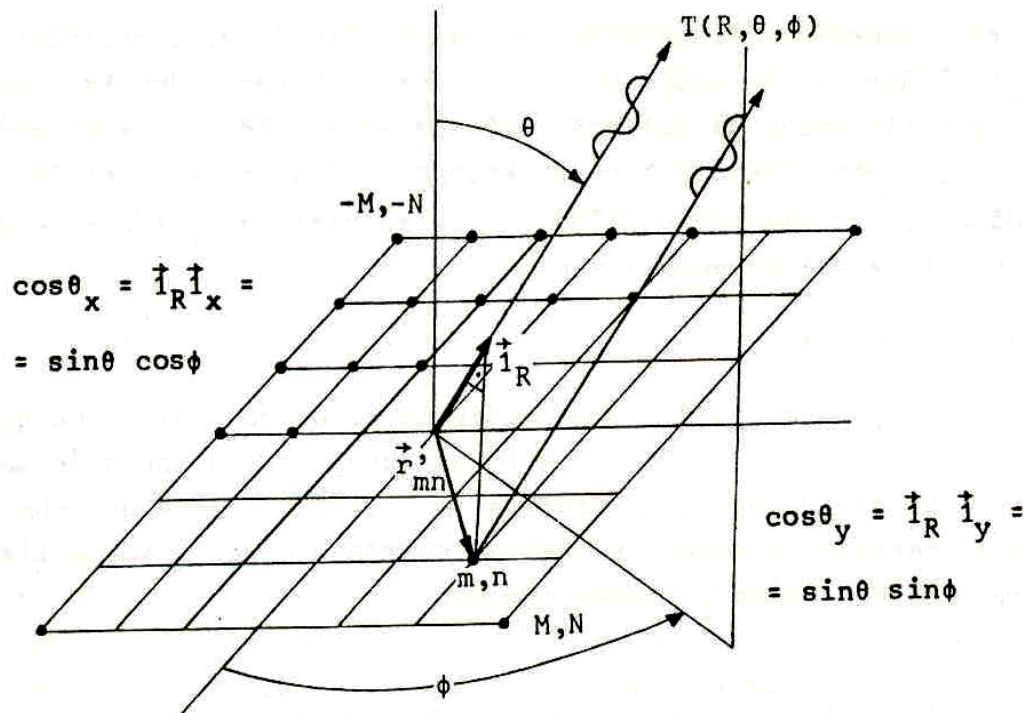
Normirani smerni diagram ravninske skupine s konstantnim vzbujanjem 1/2

Podatki:

- Enake amplitude
- Število elementov M, N
- Fazna razlika δ_x, δ_y
- Razdalja d_x, d_y

Smer glavnega snopa:

$$\cos\theta_{x0} = -\delta_x / kd_x \text{ in } \cos\theta_{y0} = -\delta_y / kd_y$$



Smerni diagram:

$$F_s(\theta, \phi) = F_m(\theta, \phi) F_n(\theta, \phi) = \sum_{m=-M}^M |A_m| e^{jmu} \sum_{n=-N}^N |A_n| e^{jnv}$$

$$F_s(u, v) = \frac{1}{MN} \frac{\sin \frac{M}{2} u}{\sin \frac{1}{2} u} \frac{\sin \frac{N}{2} v}{\sin \frac{1}{2} v}$$

$$F_s(\theta, \phi) = \frac{1}{MN} \frac{\sin(\frac{M}{2}kd_x \cos\theta_x - \cos\theta_{x0})}{\sin(\frac{1}{2}kd_x (\cos\theta_x - \cos\theta_{x0}))} \frac{\sin(\frac{N}{2}kd_y (\cos\theta_y - \cos\theta_{y0}))}{\sin(\frac{1}{2}kd_y (\cos\theta_y - \cos\theta_{y0}))}$$

Ravninska skupina 1/4

TABELA 11.6. PLOSKOVNA SKUPINA

$$F(\theta, \phi) = F_x(\theta, \phi) \cdot F_y(\theta, \phi)$$

$$N_x = 2M_x + 1$$

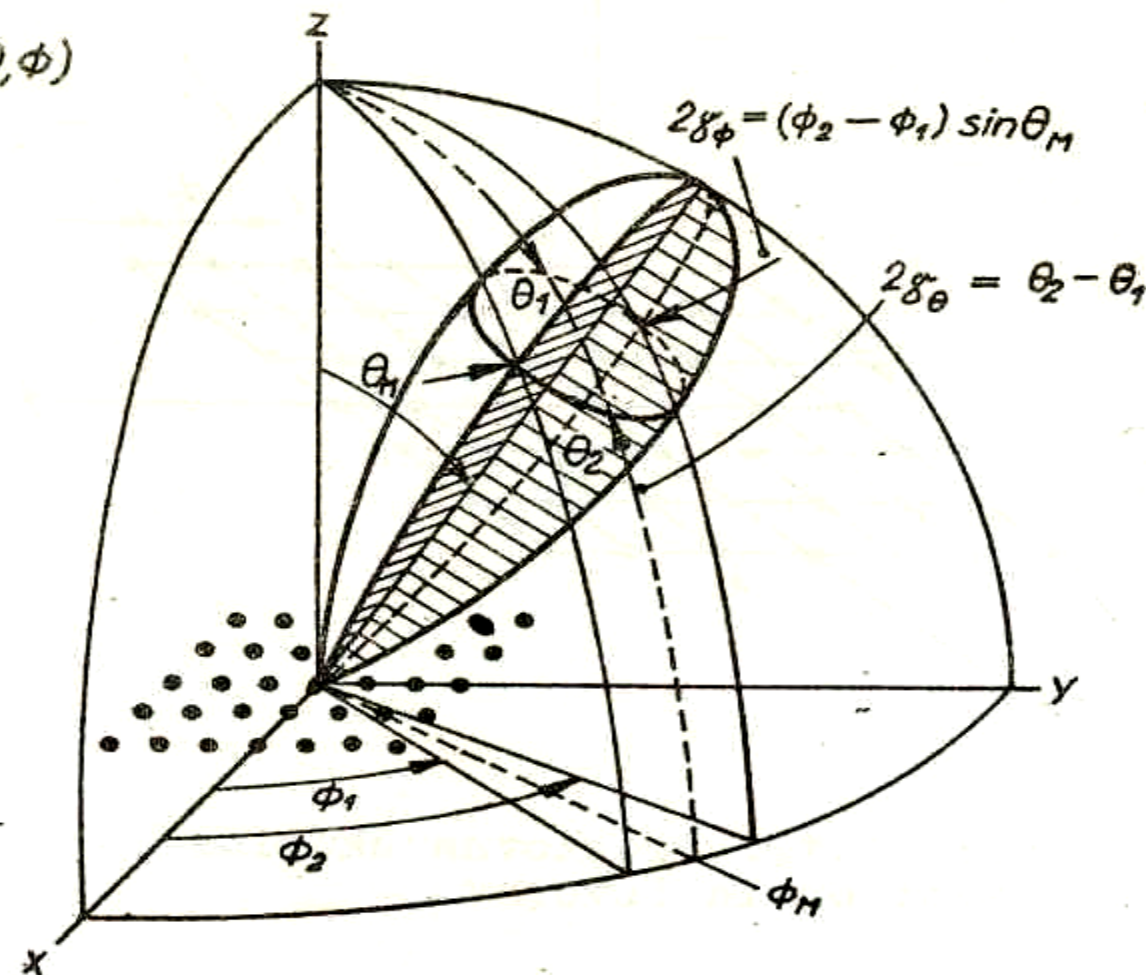
$$N_y = 2M_y + 1$$

$$L_x = N_x d_x$$

$$L_y = N_y d_y$$

Kriterij za obstoj
glavnega snopa

$$\frac{\delta_x^2}{\beta^2 d_x^2} + \frac{\delta_y^2}{\beta^2 d_y^2} \leq 1$$



Ravninska skupina 2/4

Simetrična distribucija

Konstantna distribucija

Sevalni diagram

$$F_x = \frac{\sum_{-M_x}^{M_x} |I_i| e^{ji(\beta d_x \sin \theta \cos \phi + \delta_x)}}{\sum_{-M_x}^{M_x} |I_k|} \quad (1-a)$$

$$F_y = \frac{\sum_{-M_y}^{M_y} |I_k| e^{jk(\beta d_y \sin \theta \sin \phi + \delta_y)}}{\sum_{-M_y}^{M_y} |I_k|} \quad (1-b)$$

$$F_x = \frac{1}{N_x} \frac{\sin \left[\frac{N_x}{2} (\beta d_x \sin \theta \cos \phi + \delta_x) \right]}{\sin \left[\frac{1}{2} (\beta d_x \sin \theta \cos \phi + \delta_x) \right]} \quad (2-a)$$

$$F_y = \frac{1}{N_y} \frac{\sin \left[\frac{N_y}{2} (\beta d_y \sin \theta \sin \phi + \delta_y) \right]}{\sin \left[\frac{1}{2} (\beta d_y \sin \theta \sin \phi + \delta_y) \right]} \quad (2-b)$$

Lega glavnega snopa

$$\tan \phi_M = - \frac{\delta_y d_x}{\delta_x d_y} \quad (3-a)$$

$$\sin^2 \theta_M = \frac{\delta_x^2}{\beta^2 d_x} + \frac{\delta_y^2}{\beta^2 d_y} \quad (3-b)$$

Ravninska skupina 3/4

IZOTROPNIH IZVOROV

Simetrična distribucija

Širina glavnega snopa bočne in splošne skupine ($\theta_M < \frac{\pi}{2}$)

$$L_x \gg \lambda, L_y \gg \lambda$$

$$2g_\theta = \frac{2g_{yo}}{\cos \theta_M (\sin^2 \phi_M + (\frac{2g_{yo}}{2g_{xo}})^2 \cos \phi_M)^{\frac{1}{2}}} \quad (4-a)$$

$$2g_\phi = \frac{2g_{xo}}{(\sin^2 \phi_M + (\frac{2g_{xo}}{2g_{yo}})^2 \cos^2 \phi_M)^{\frac{1}{2}}} \quad (4-b)$$

$2g_{xo}$ ($2g_{yo}$) širina glavnega snopa so fazno vzbujanega stolpca (vrstice)

Konstantna distribucija

$$L_x \gg \lambda, L_y \gg \lambda$$

$$2g_\theta = \frac{0,886 \frac{\lambda}{L_y}}{\cos \theta_M (\sin^2 \phi_M + (\frac{L_x}{L_y})^2 \cos \phi_M)^{\frac{1}{2}}} \quad (5-a)$$

$$2g_\phi = \frac{0,886 \frac{\lambda}{L_x}}{(\sin^2 \phi_M + (\frac{L_y}{L_x})^2 \cos^2 \phi_M)^{\frac{1}{2}}} \quad (5-b)$$

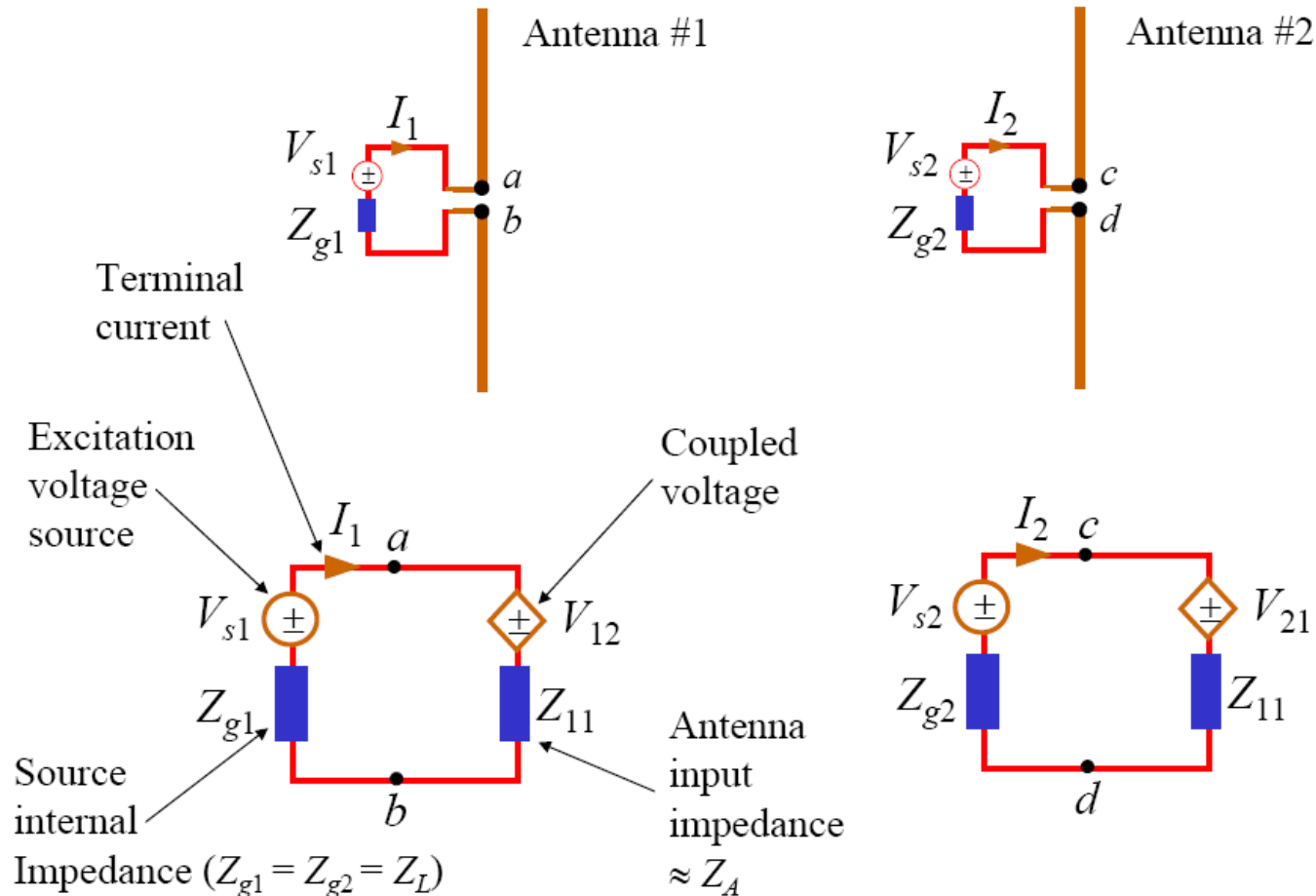
Ravninska skupina 4/4

Smernost bočne ali osne skupine ($\theta_M < \frac{\pi}{2}$)	
$d_x = d_y = \frac{\lambda}{2}, \quad F(\theta > \frac{\pi}{2}) = 0$ $L_x \text{ in } L_y \gg \lambda$ $D = \pi \cos \theta_M \frac{\frac{2L_x}{\lambda}}{\sum_{P=-P}^P \left(\frac{A_P}{A_0} \right)^2} \frac{\frac{2L_y}{\lambda}}{\sum_{Q=-Q}^Q \left(\frac{B_Q}{B_0} \right)^2}$ $= \pi D_x D_y \cos \theta_M \quad (6)$	$d_x = d_y = \frac{\lambda}{2}, \quad F(\theta > \frac{\pi}{2}) = 0$ $L_x \text{ in } L_y \gg \lambda$ $D = \frac{4\pi}{\lambda^2} L_x L_y \cos \theta_M \quad (7-a)$ $= \pi N_x N_y \cos \theta_M$ $A = L_x L_y \cos \theta_M \quad (7-b)$
<i>Velja približno tudi za</i> $\frac{\lambda}{2} < d_x < \lambda; \quad \frac{\lambda}{2} < d_y < \lambda$	<i>Velja približno tudi za</i> $\frac{\lambda}{2} < d_x < \lambda; \quad \frac{\lambda}{2} < d_y < \lambda$

$$D = \frac{9,87}{28_\theta \cdot 28_\phi [\text{rad}^2]} = \frac{32,400}{28_\theta \cdot 28_\phi [{}^\circ\text{rad}]} \quad (8)$$

28_θ in 28_ϕ pri $\phi_M = 0$ ali $\frac{\pi}{2}$

Sklop med dipoloma

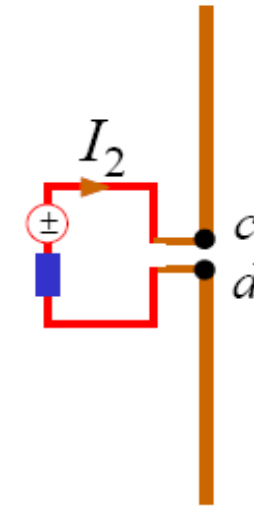
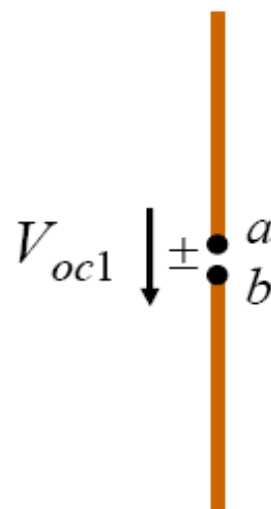


Definicija medsebojne impedance

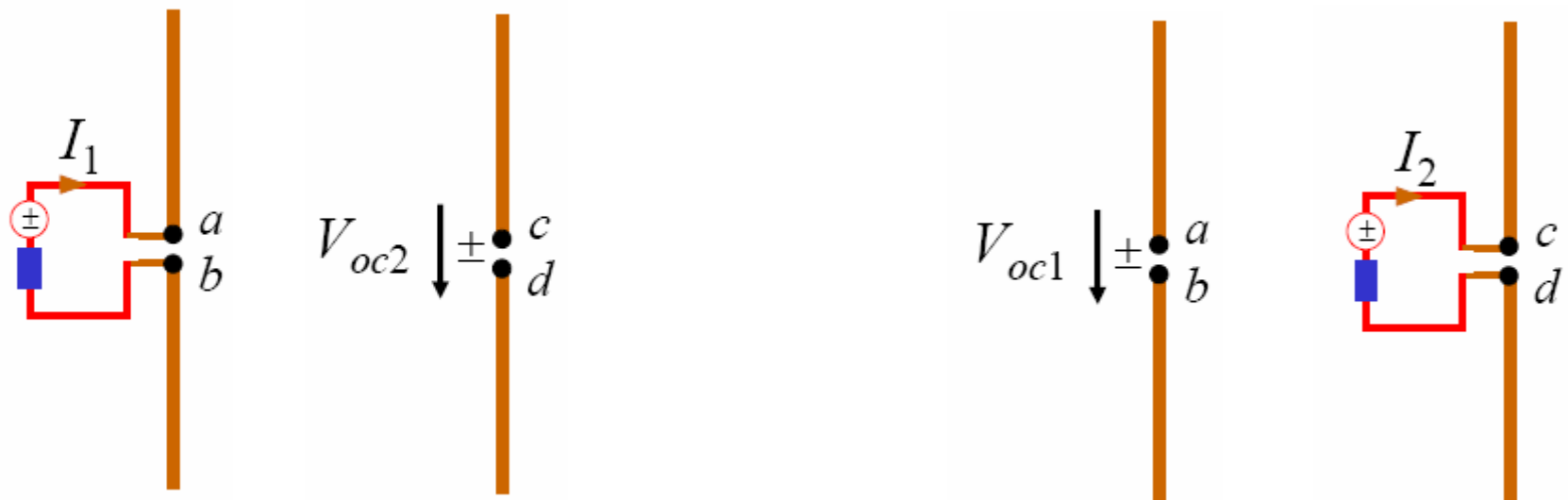
Z_{12} = mutual impedance with antenna #2 excited

$$= \frac{V_{oc1}}{I_2} \Big|_{I_1=0}$$

$$= \frac{\text{open - circuit voltage at antenna \#1}}{I_2} = \frac{V_{12}}{I_2}$$



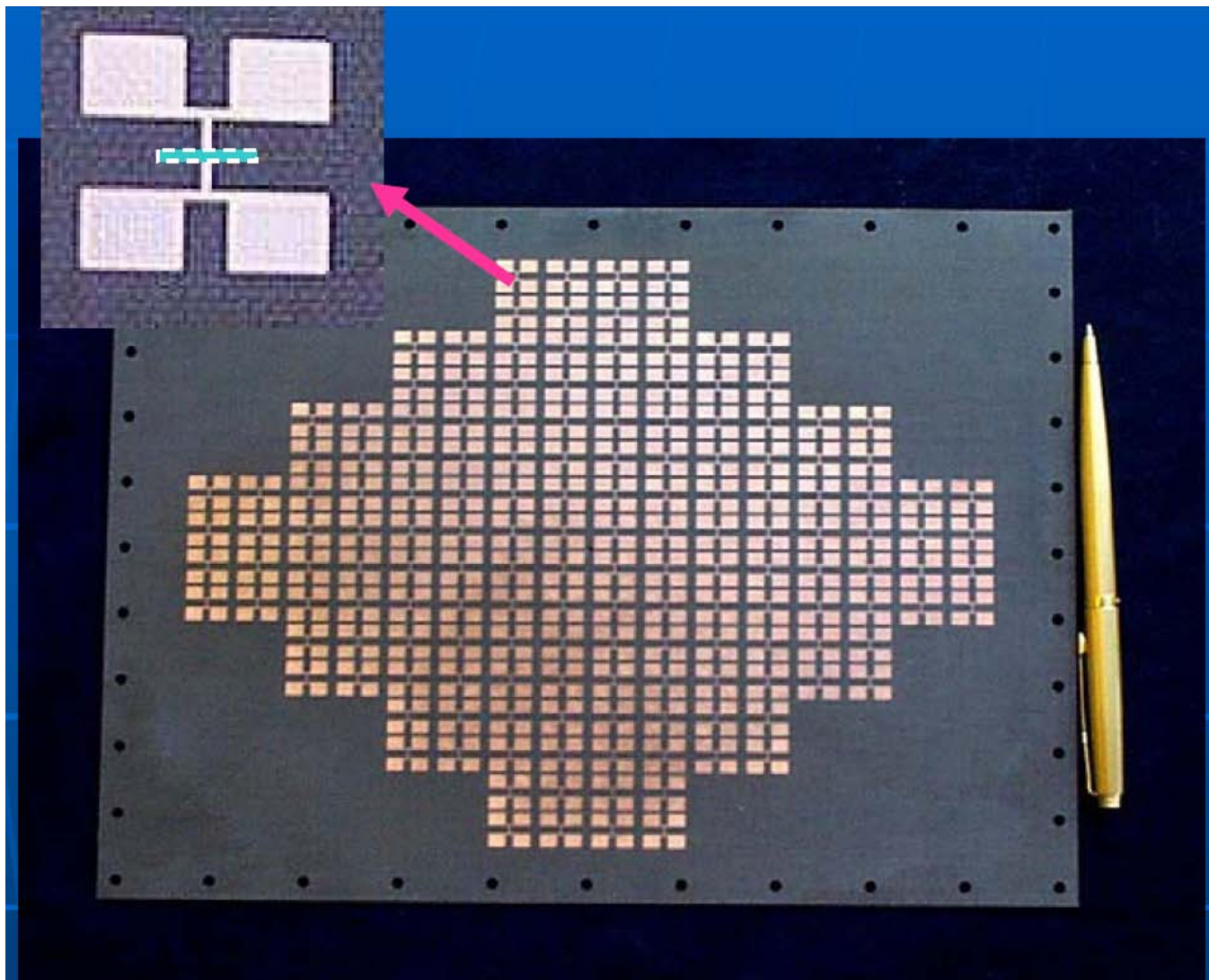
Definicija medsebojne impedance

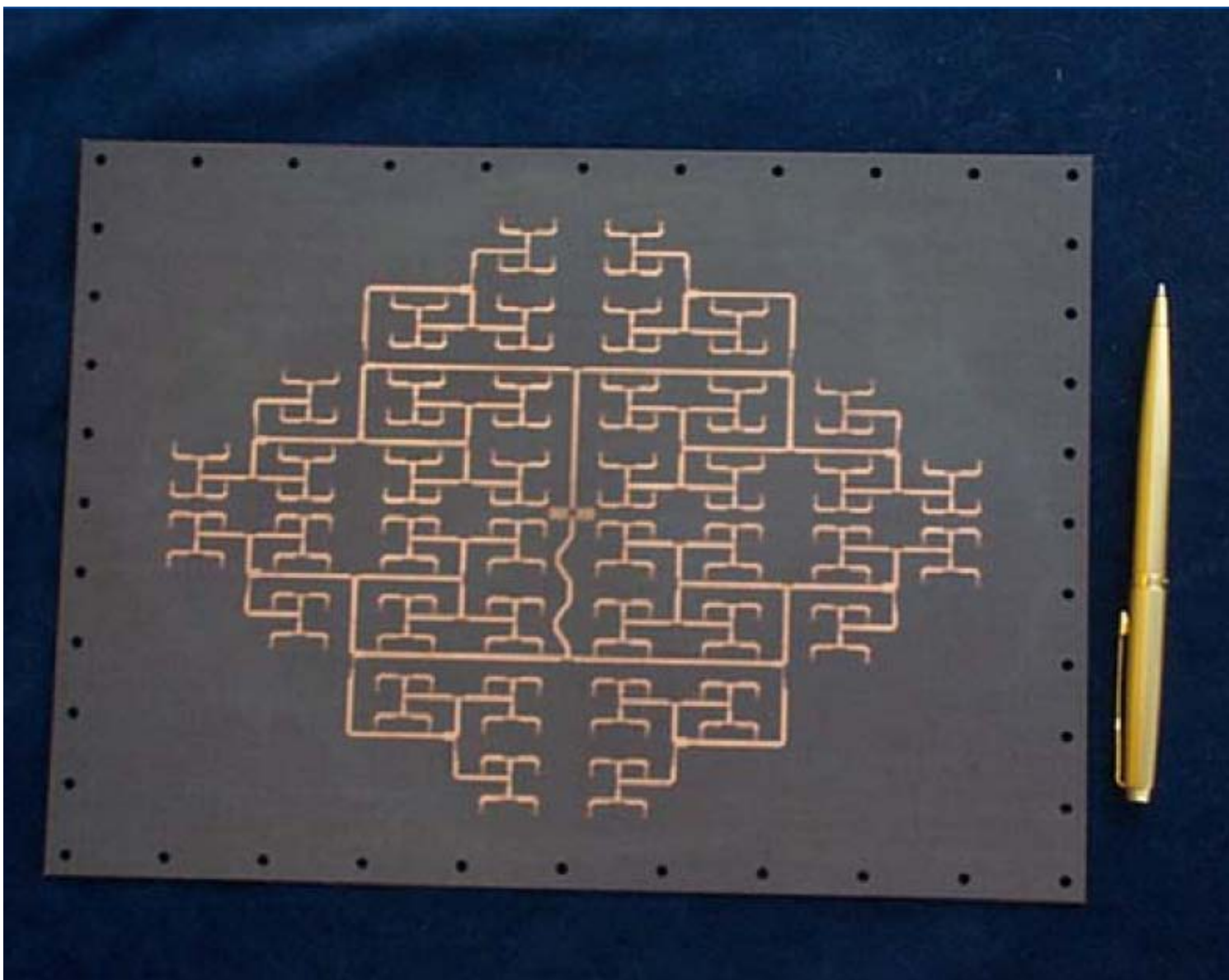


with antenna #1 excited

$$\text{Impedance at antenna \#2} = \frac{V_{21}}{I_1}$$

$$V_{oc2} \mid \pm \bullet c$$





Microsoft PowerPoint - [MBTS_2008_Antena_Lec01.ppt]

Times New Roman 24 B I S Design New Slide

File Edit View Insert Format Tools Slide Show Window Help

Type a question for help

101%

12 · 11 · 10 · 9 · 8 · 7 · 6 · 5 · 4 · 3 · 2 · 1 · 0 · 1 · 2 · 3 · 4 · 5 · 6 · 7 · 8 · 9 · 10 · 11 · 12

Antena

- ◆ Antena je del oddajno-sprejemne naprave, ki oddaja in sprejema elektromagnetne valove
- ◆ Antena je pretvornik vodenega vala (koaks.vod, valovod) v valovanje praznega prostora in obratno
- ◆ Za učinkovito pretvorbo mora biti prilagojena ($\Gamma=0$, $Z_{in}=Z_0$)

prilagojen vir moči

P_1 **vpadna moč** P_2 **antenna**
prenosni vod $P_2 = (1 - |\Gamma|^2)P_1$
 Z_o Z_o Z_{in} **sevana moč**

$Z_{in} = R + jX$ where $R = R_{rad} + R_{loss}$ $\Gamma = \frac{Z_{in} - Z_o}{Z_{in} + Z_o}$

Wireless Communications Research Center

24

Draw AutoShapes Slides AREA Slovenian

Slide 24 of 72 2 Windo... MBTL.poro... MBTL13_DI... MBTS_200... MBTL14_Di... Antenna de... SL 18:46

http://www.lam.unifi.it/upload/sub/general/LAM.pdf - Microsoft Internet Explorer

File Edit Go To Favorites Help

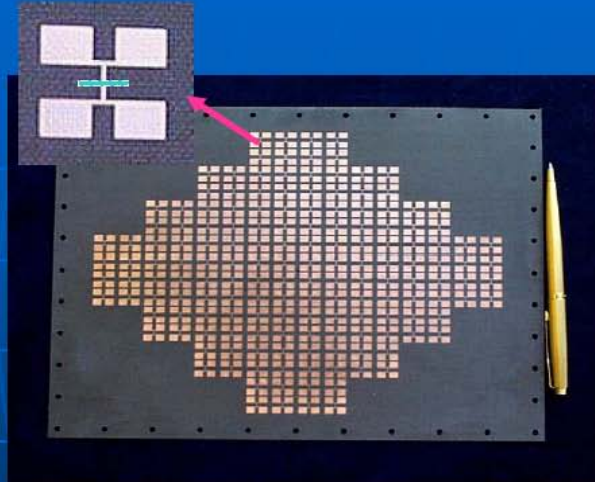
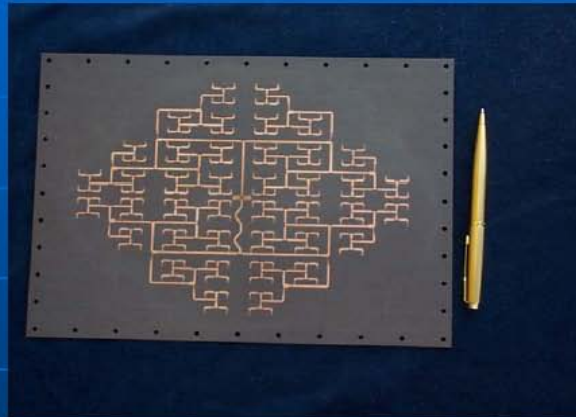
Back Search Favorites Home Find

Address http://www.lam.unifi.it/upload/sub/general/LAM.pdf Go Links >

Freecorder antenna topics, ppt Go Record Stop Pause Play Settings Clas... Find

9 / 23 95,2% Find

 **ANTENNA AND MICROWAVE LABORATORY** 

Millimeter wave planar dual layer array for LMDS systems
(Under Compel Spa research contract)



Done Unknown Zone

start

